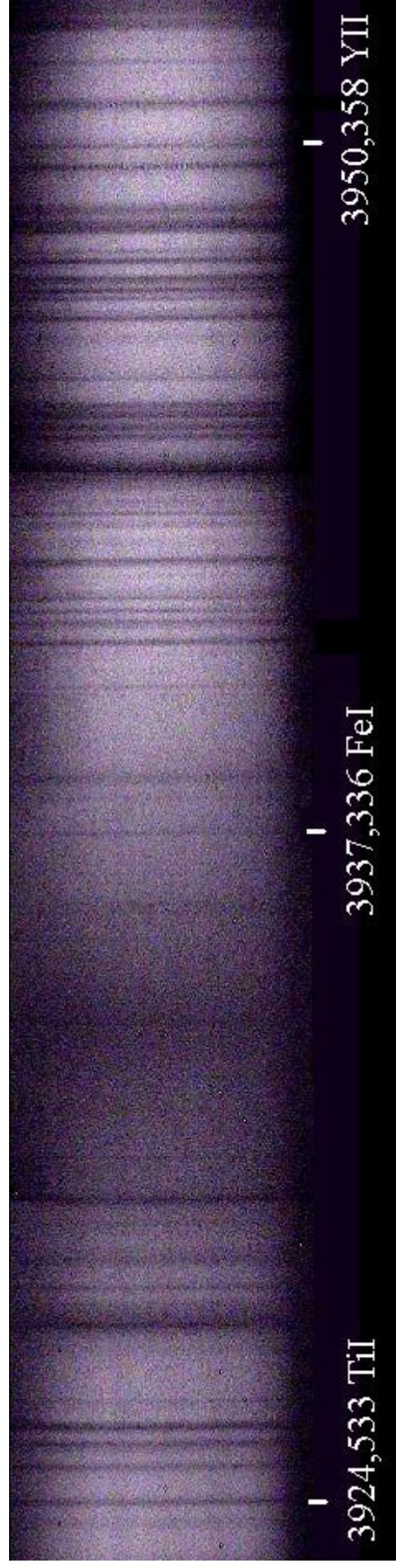
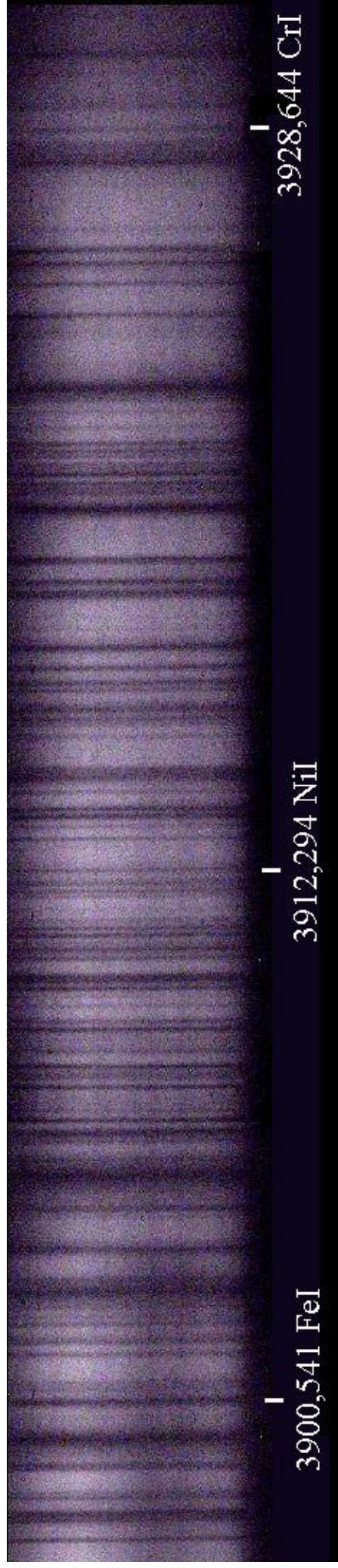
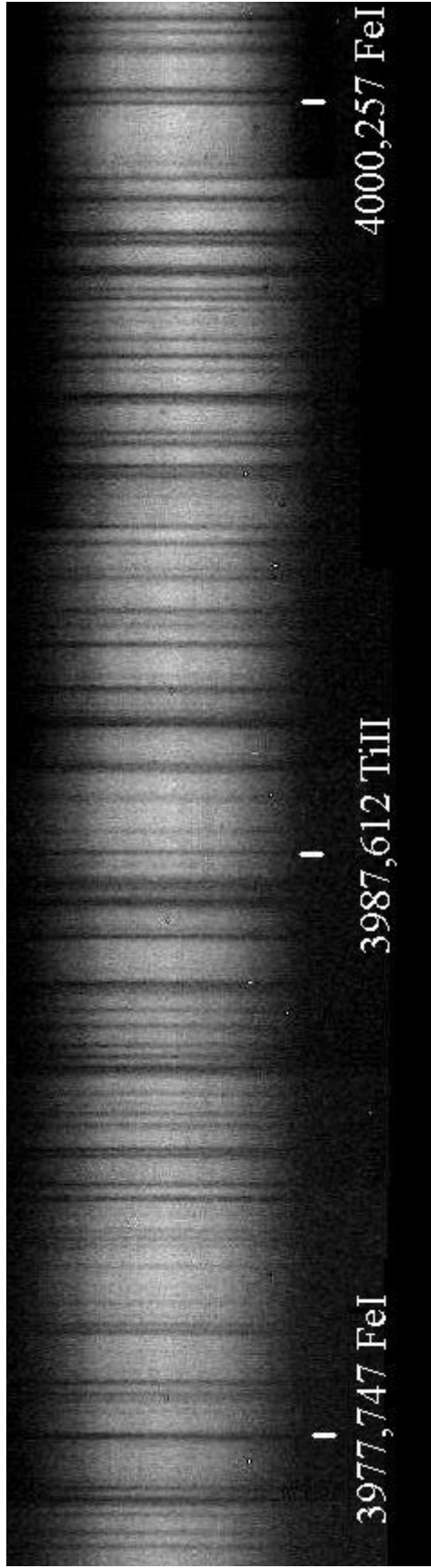
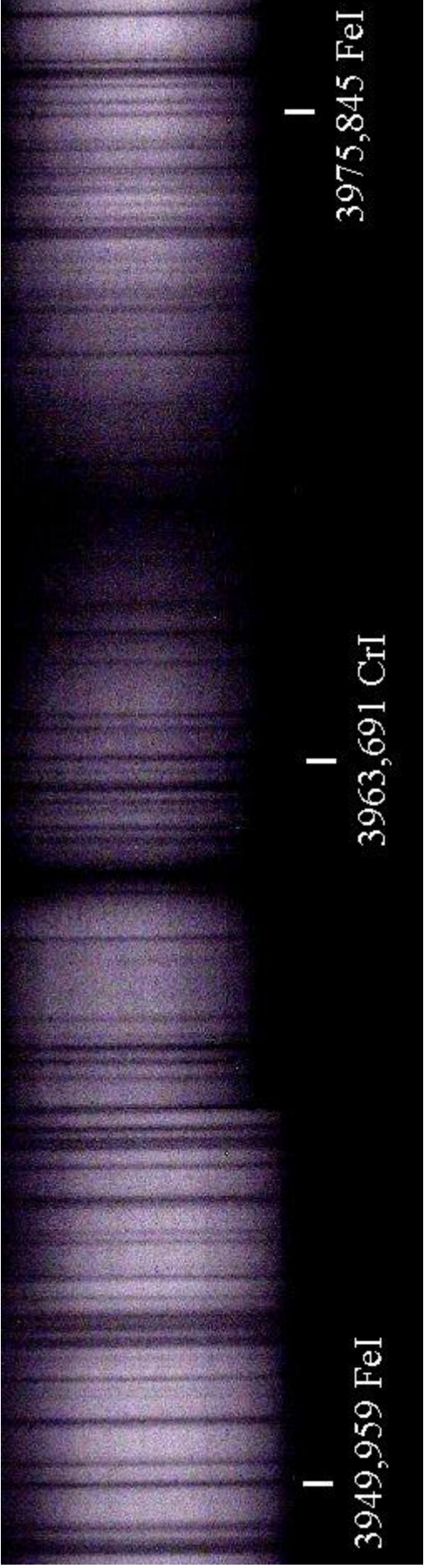
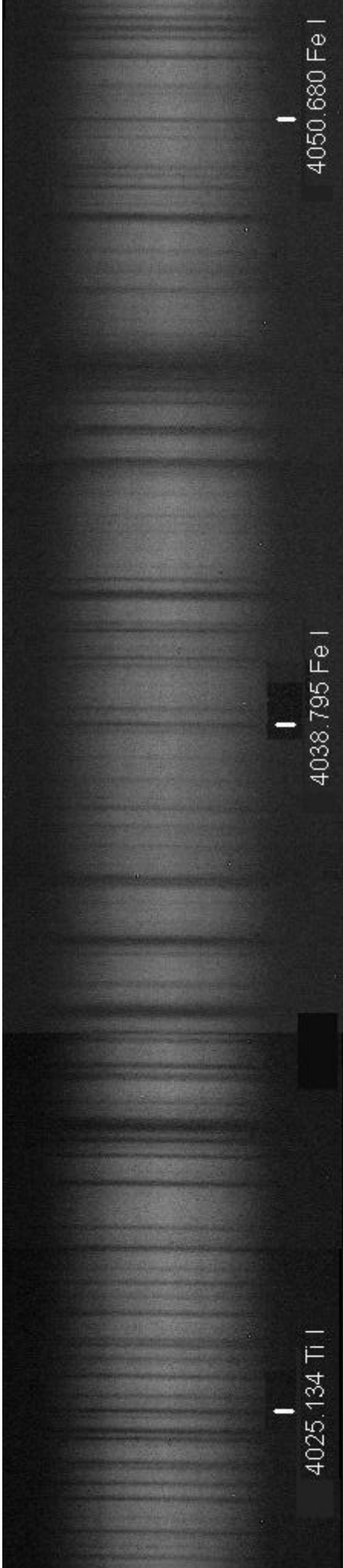
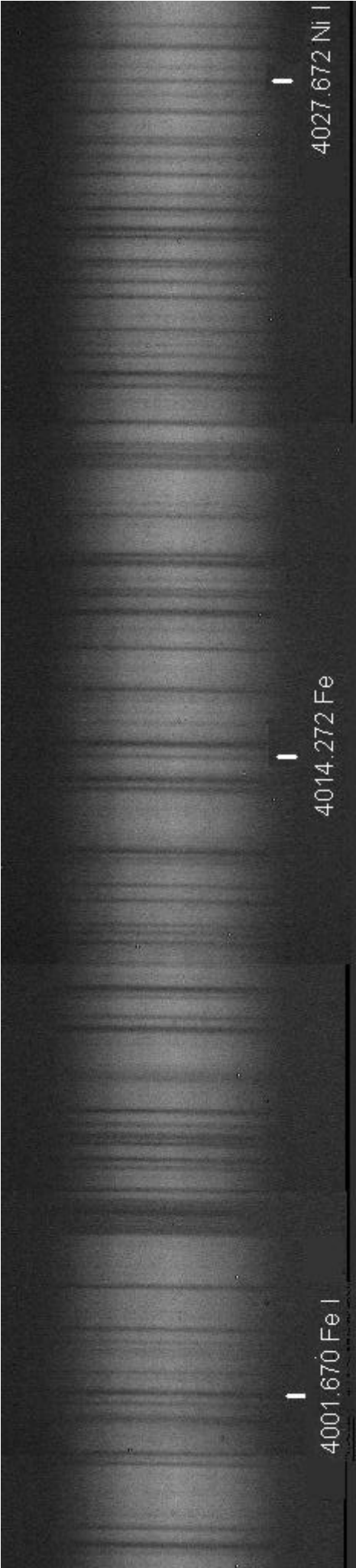
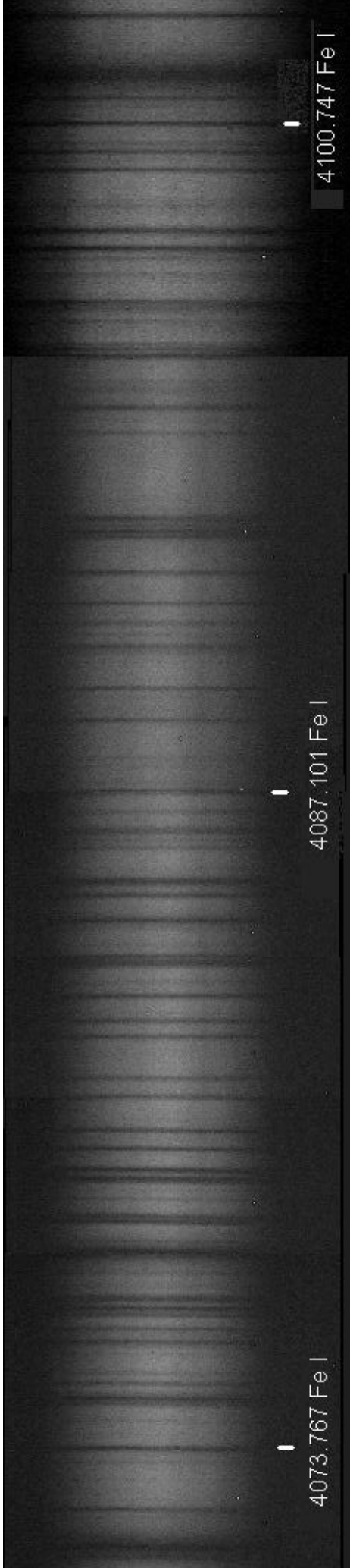
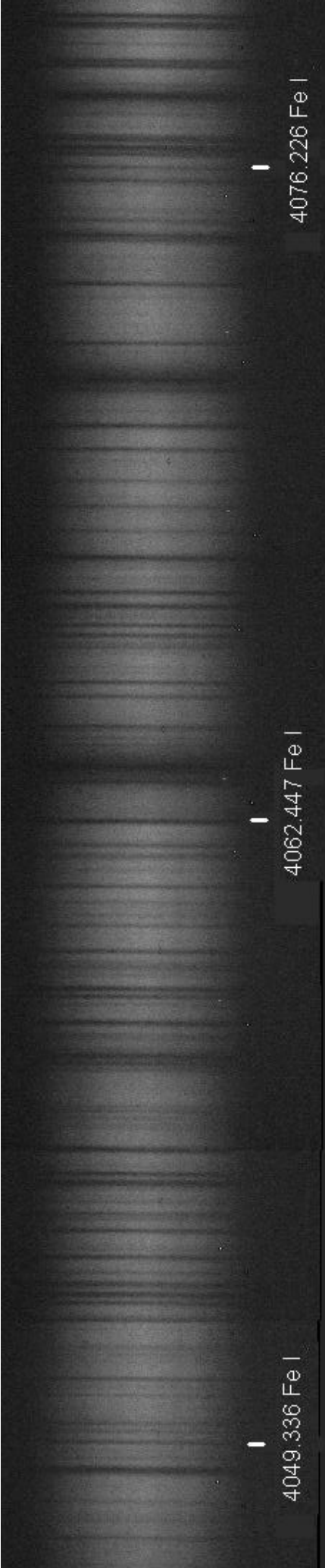


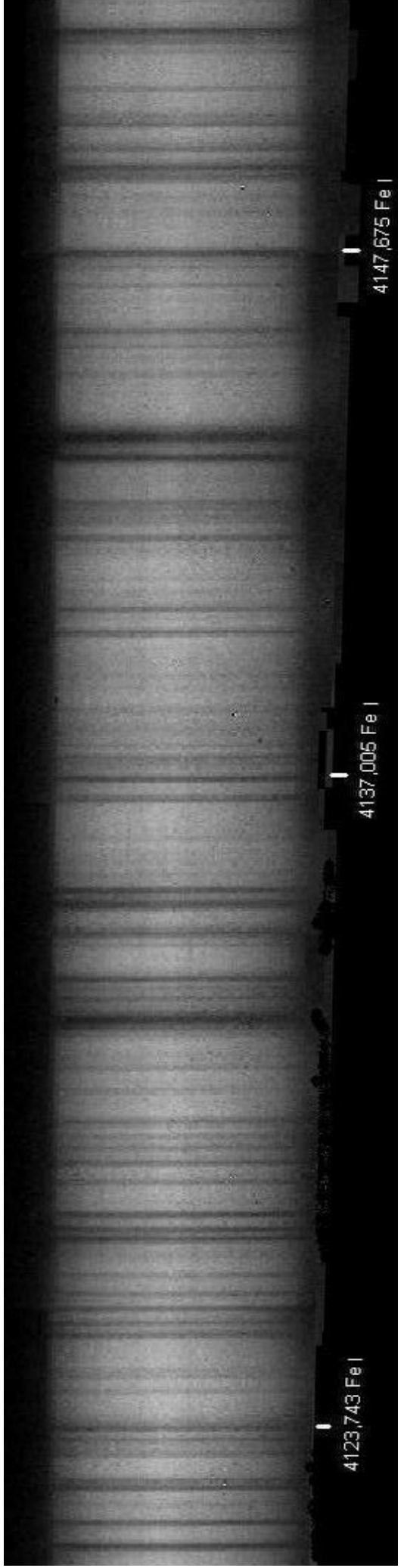
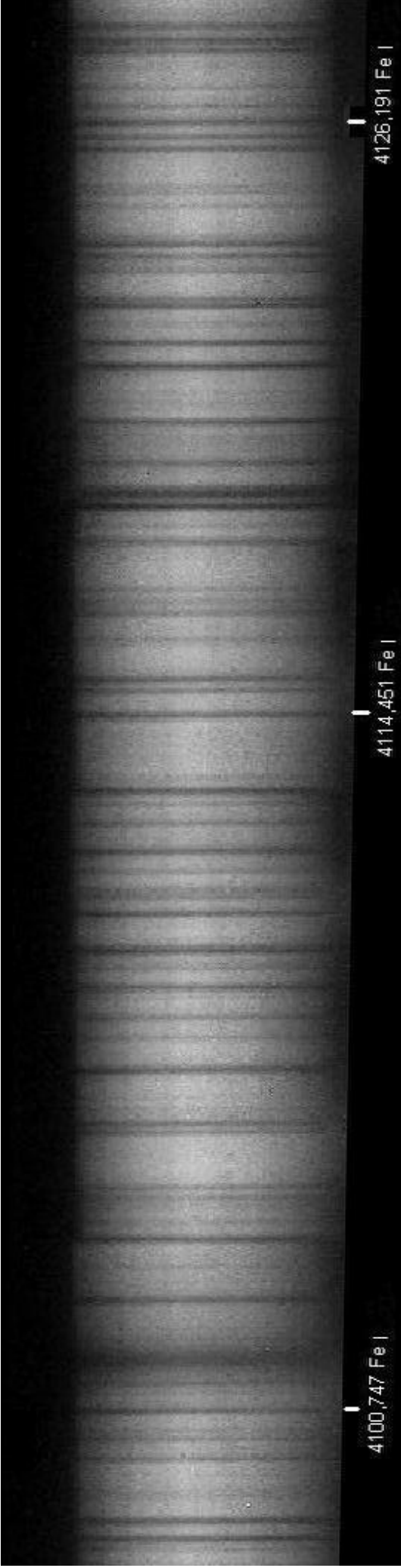
Littrowspektren der Sonne von 3900 – 6900 Ångström

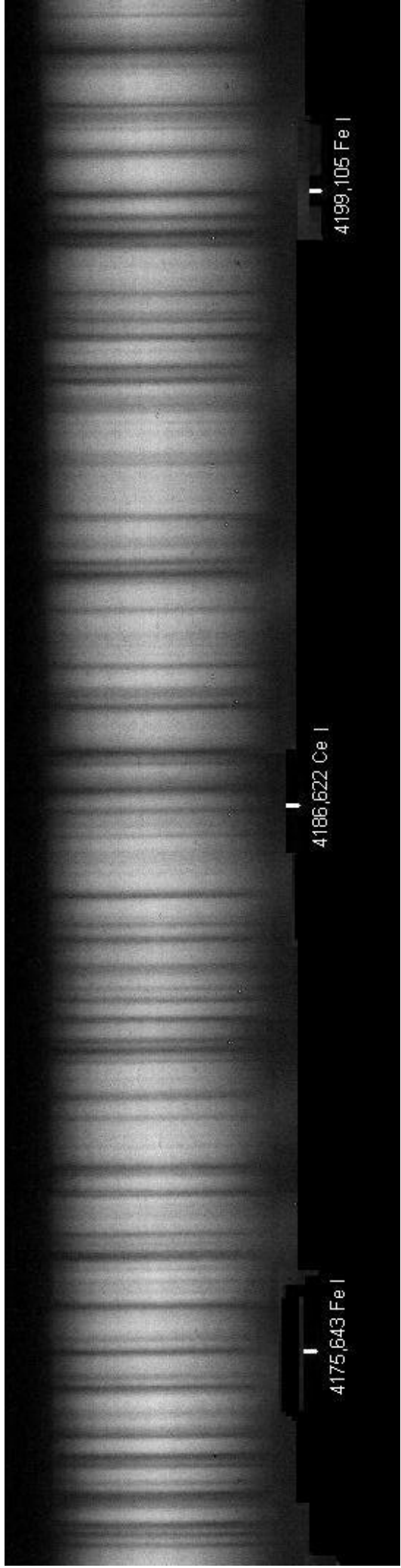
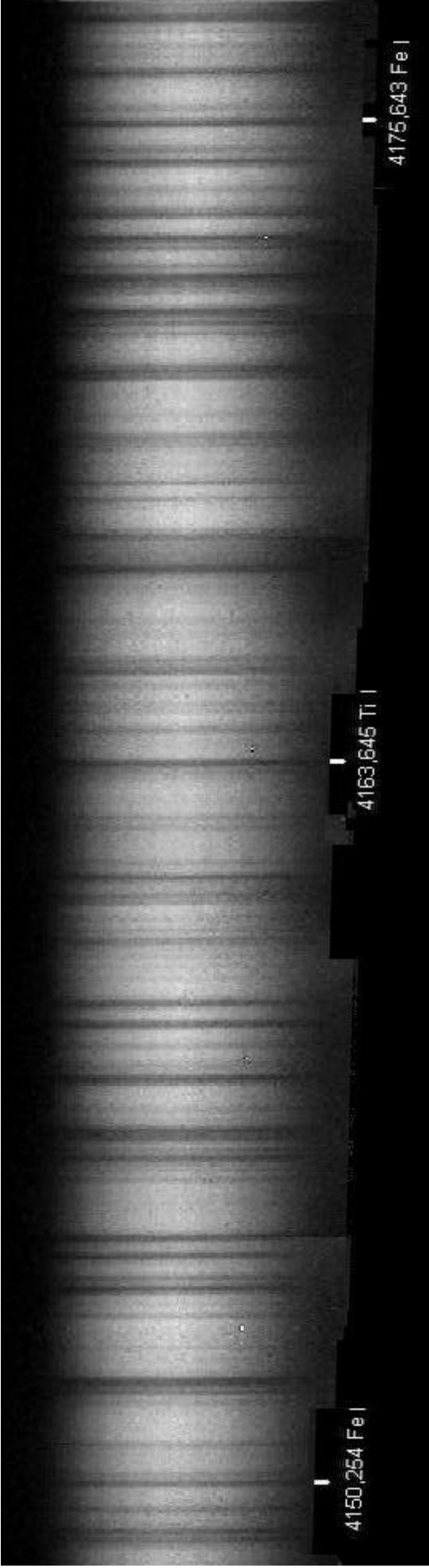


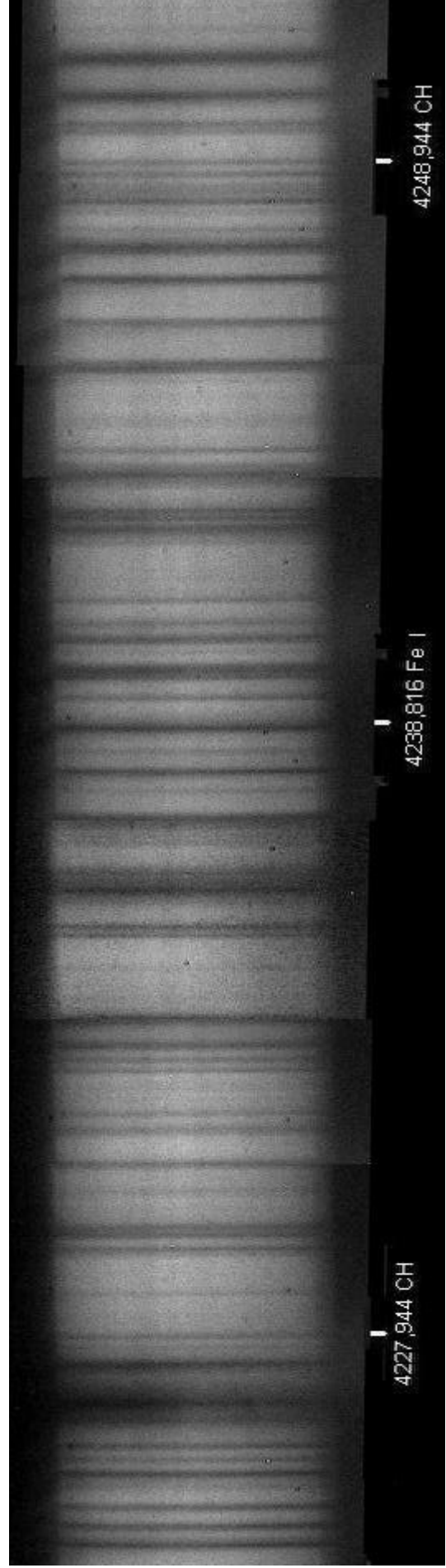
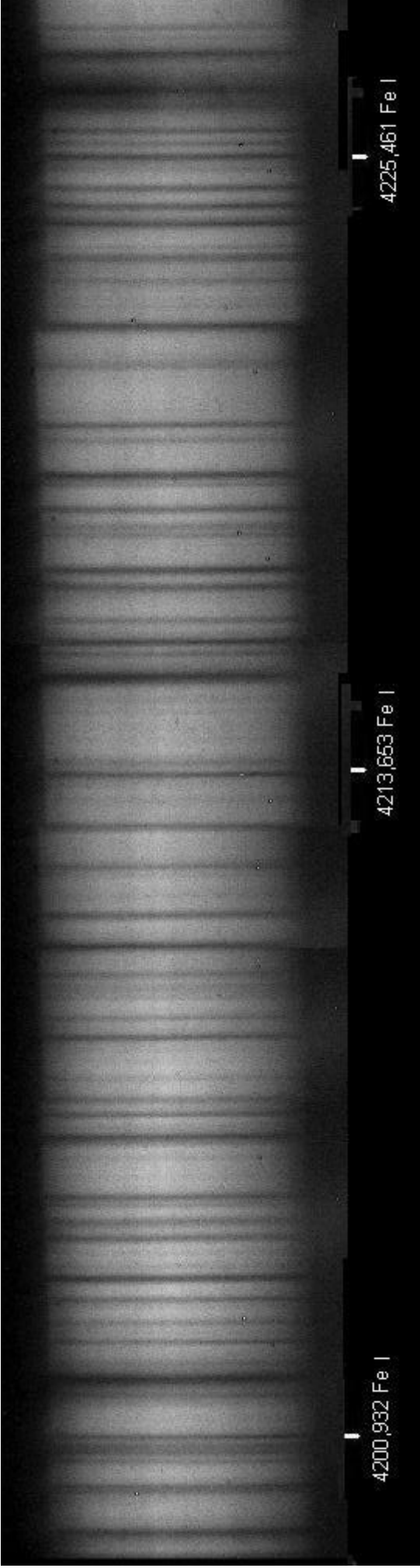


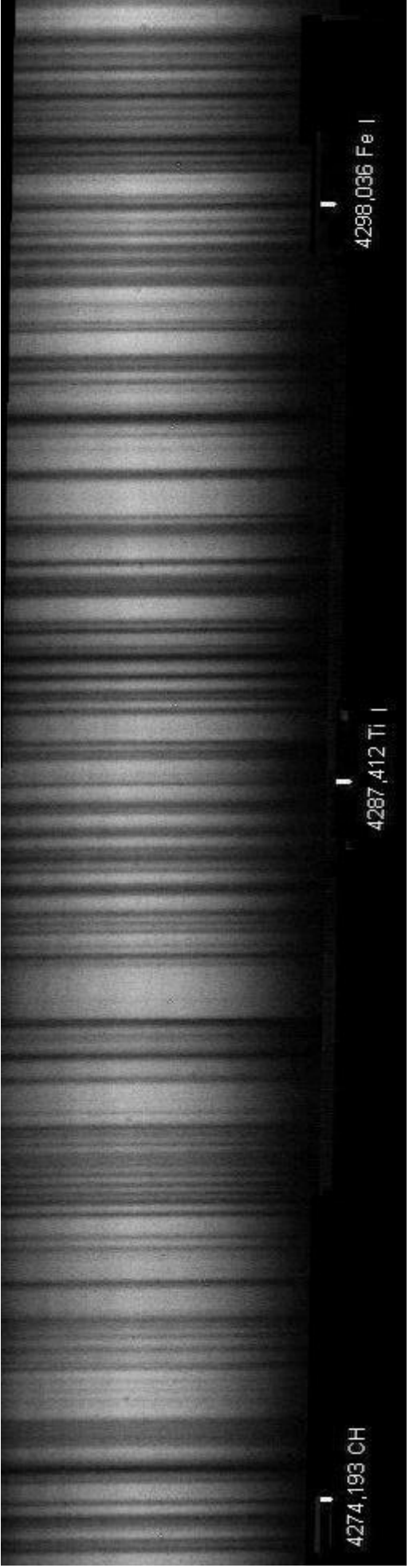
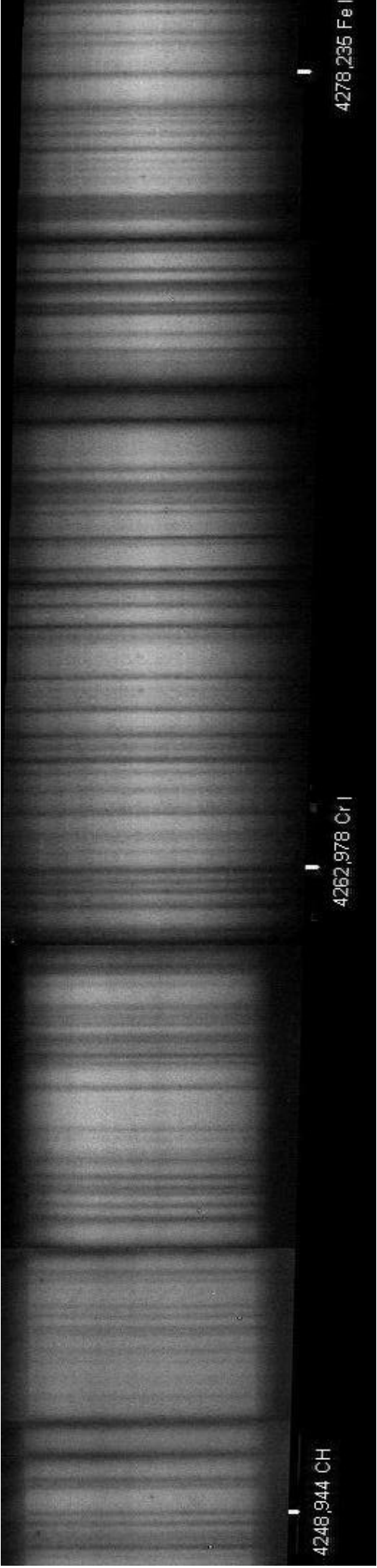


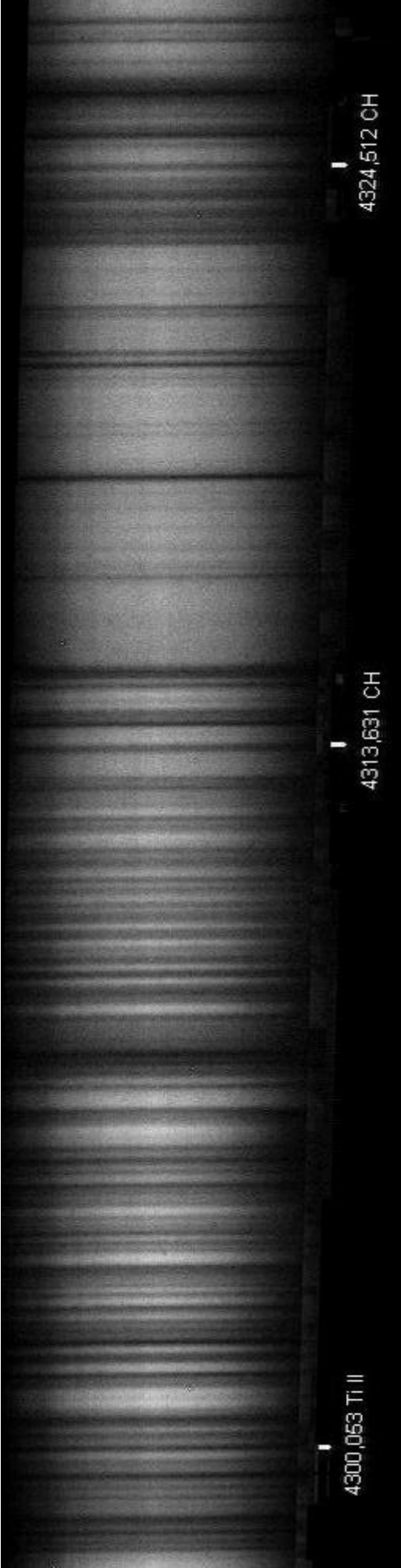


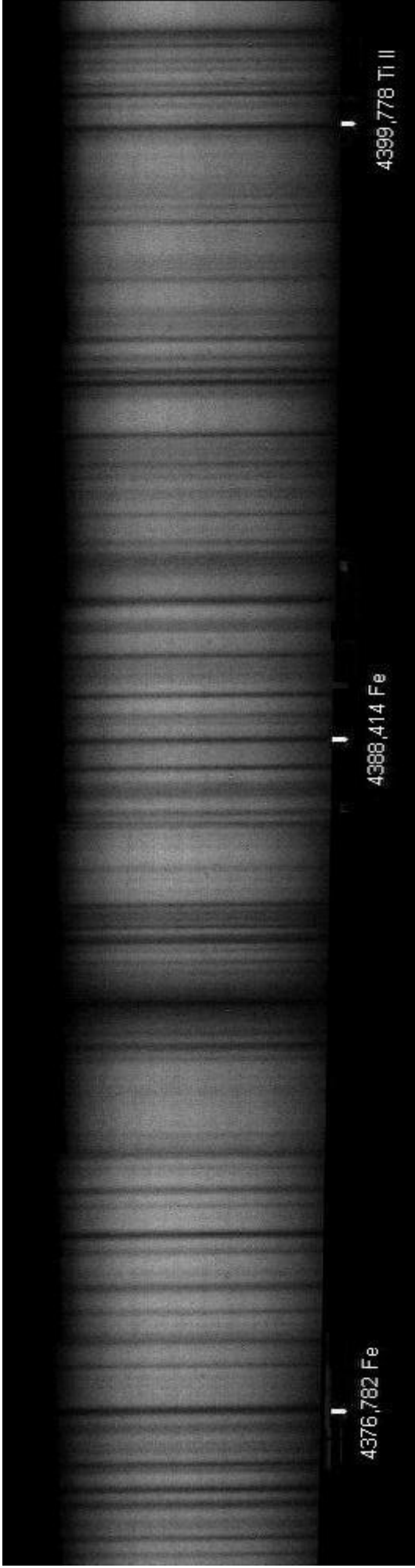
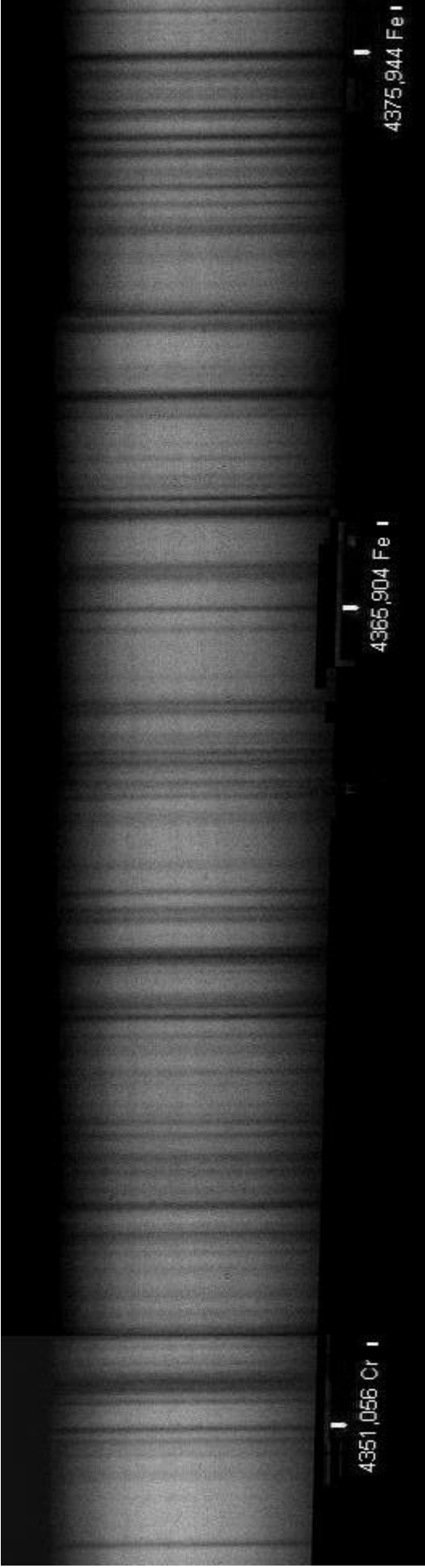


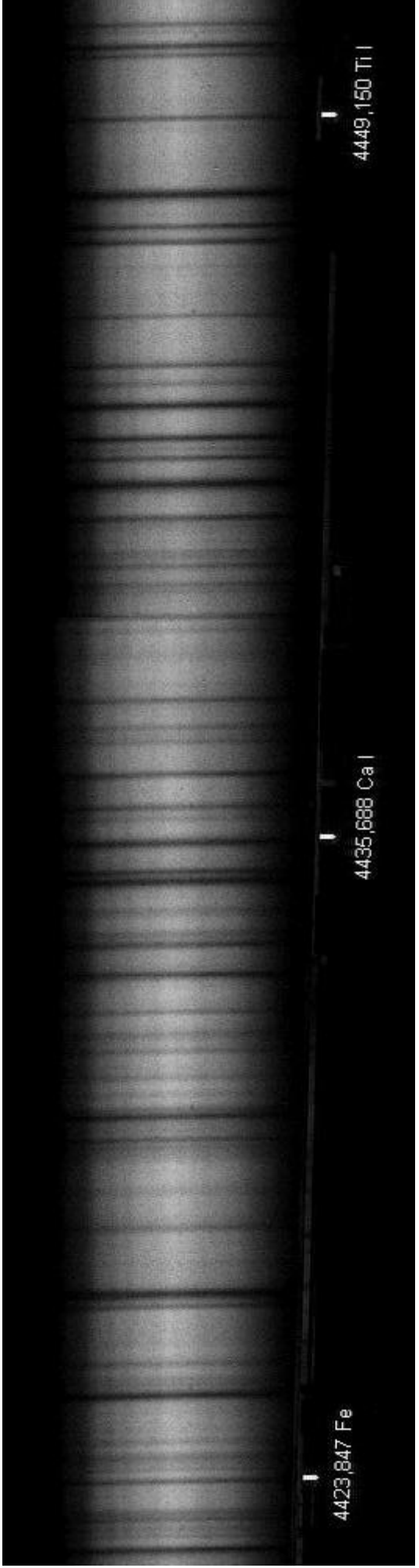
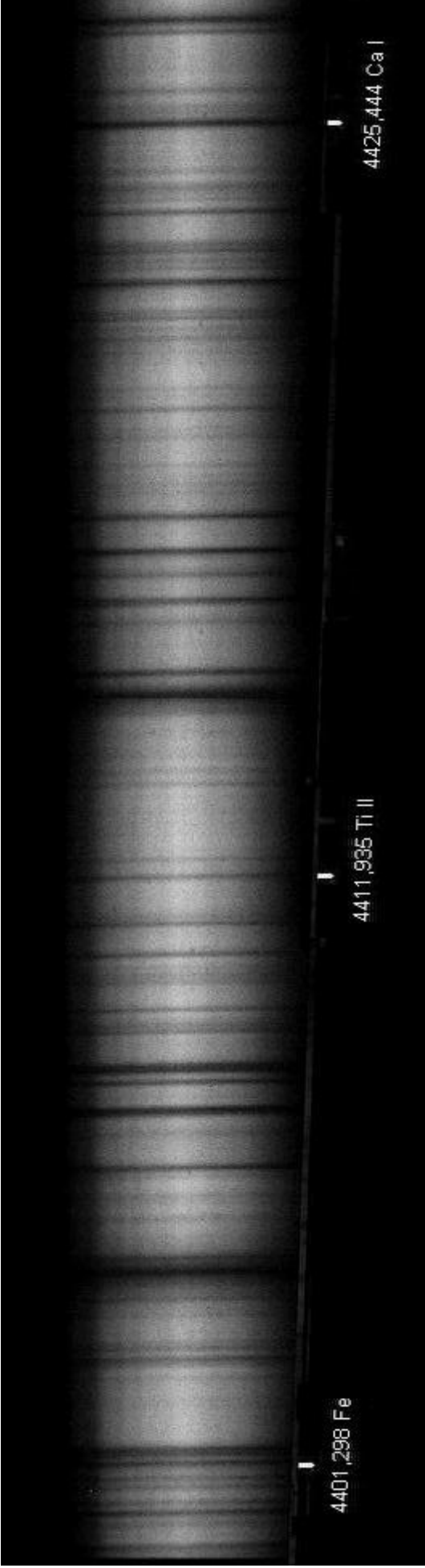


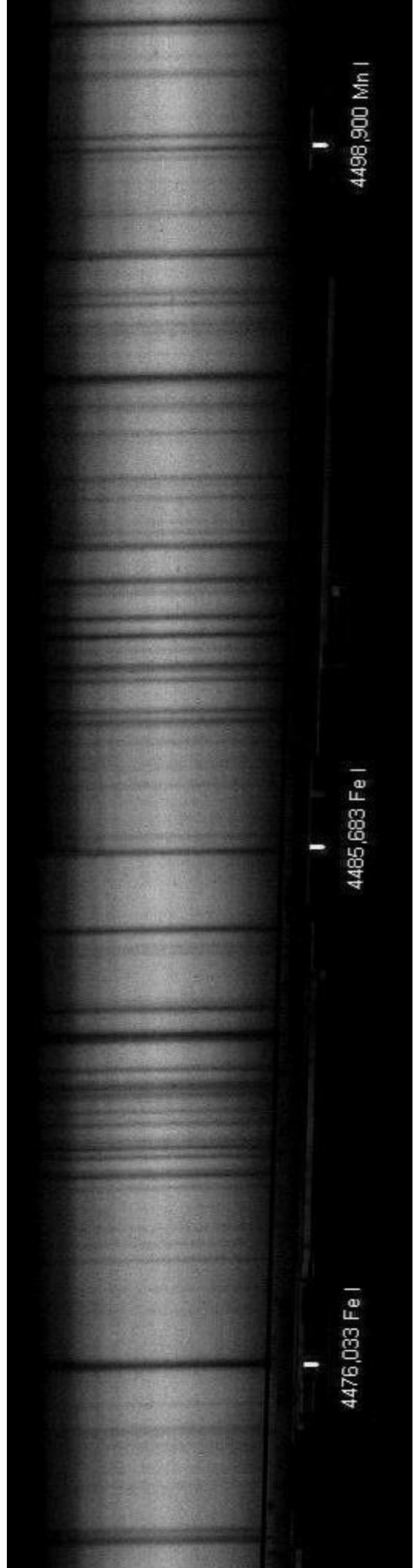
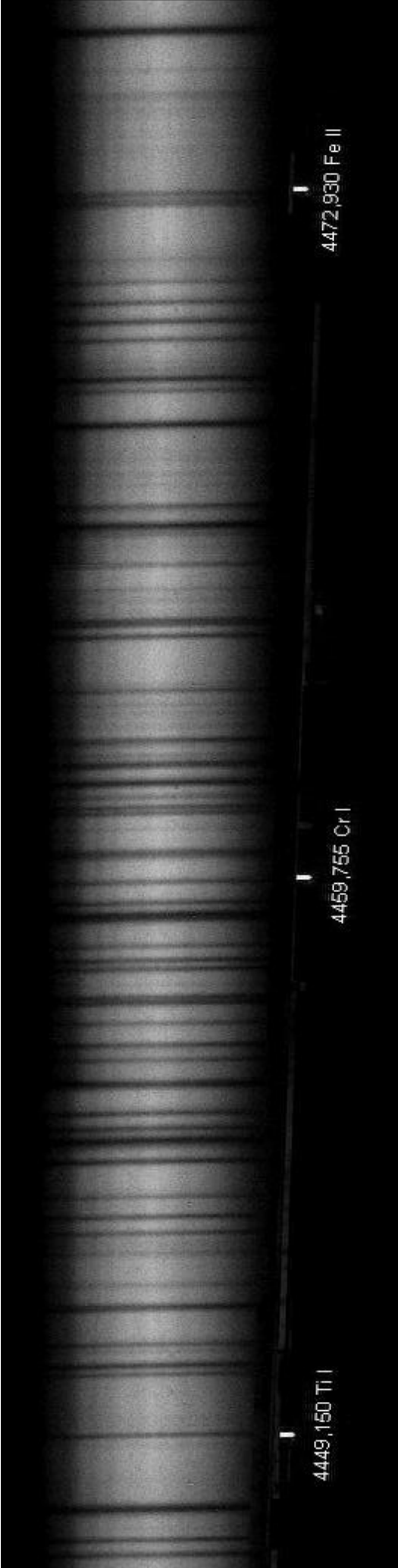


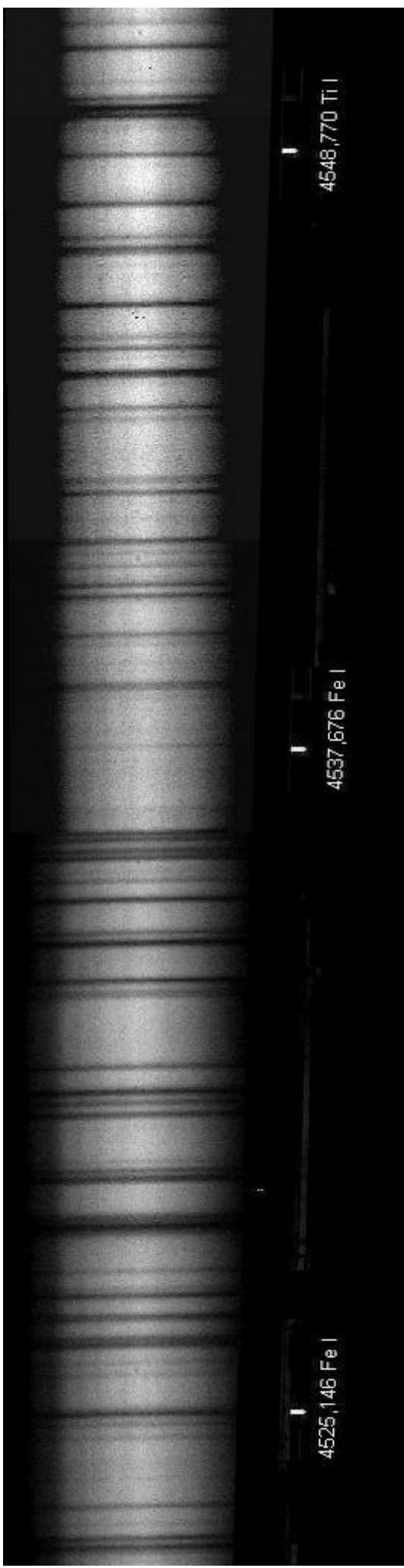
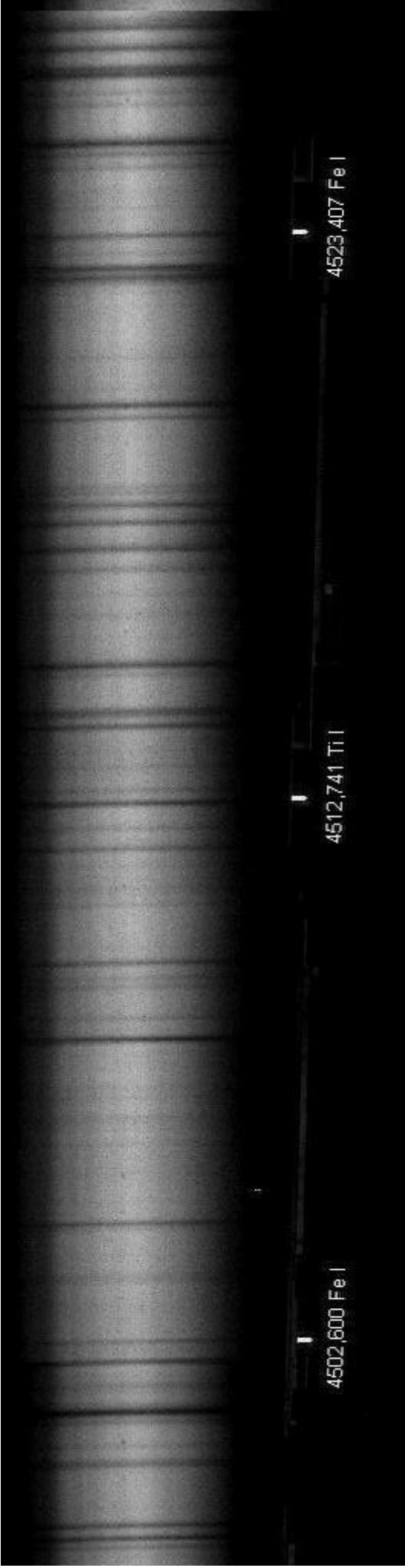


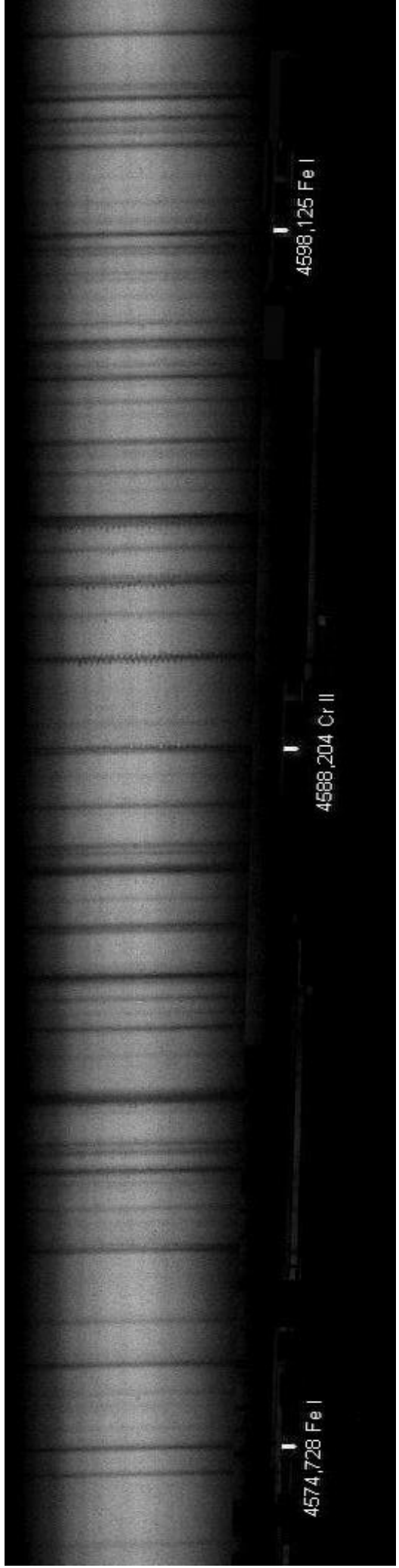
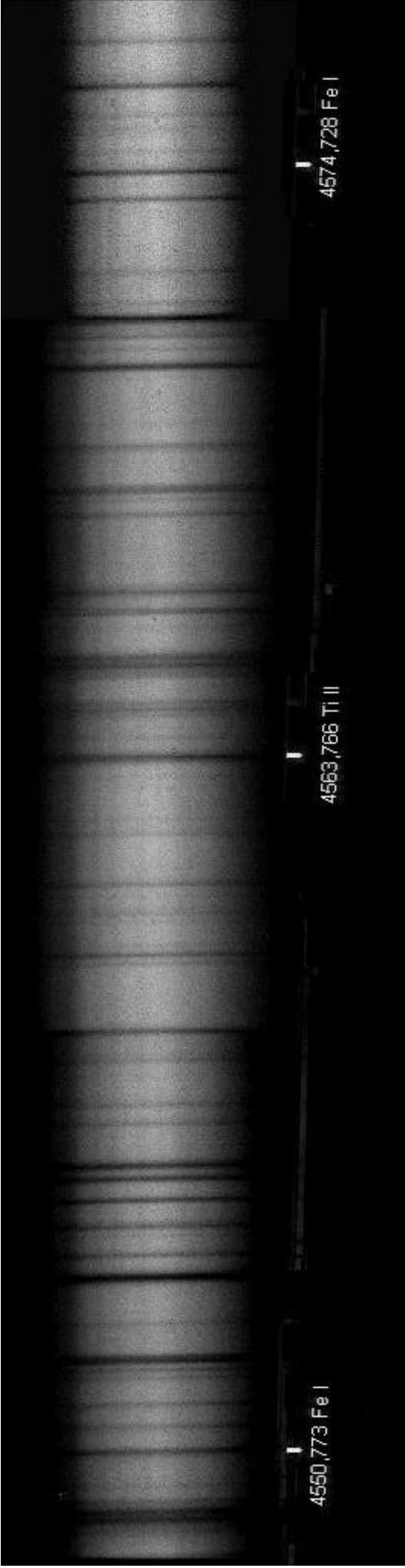


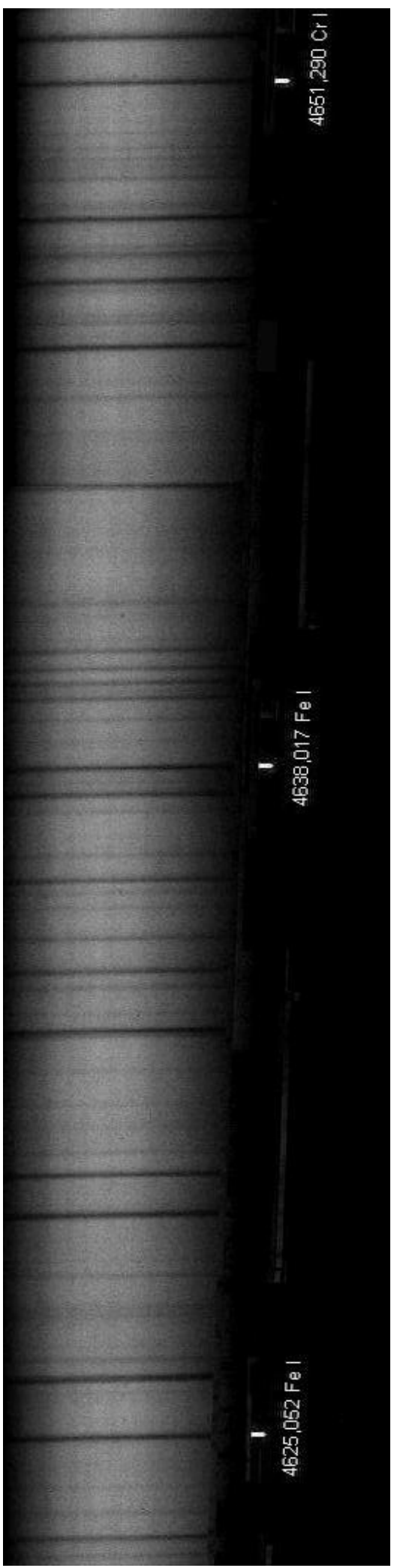


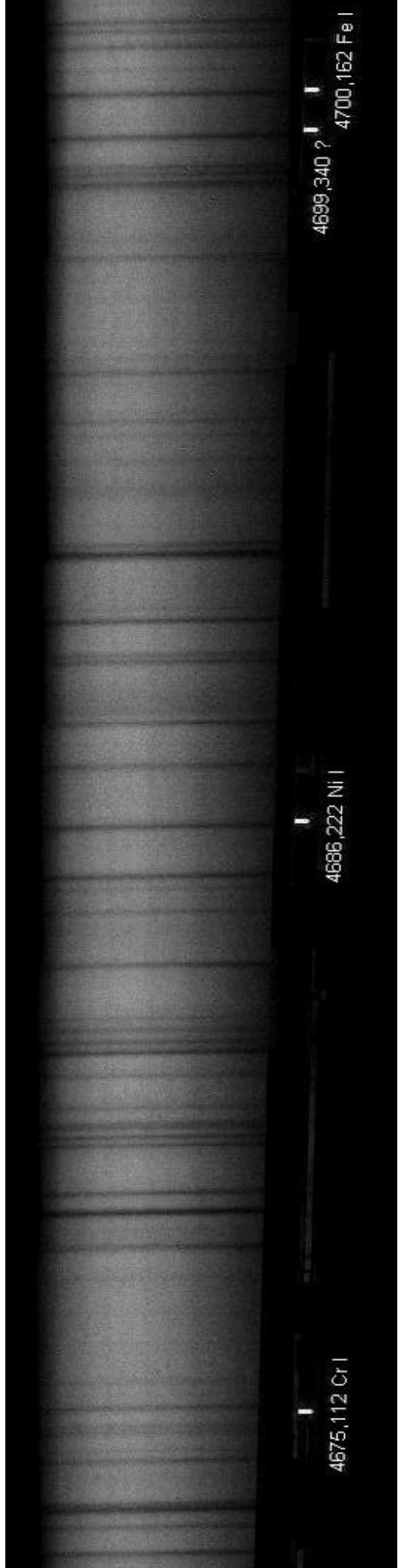
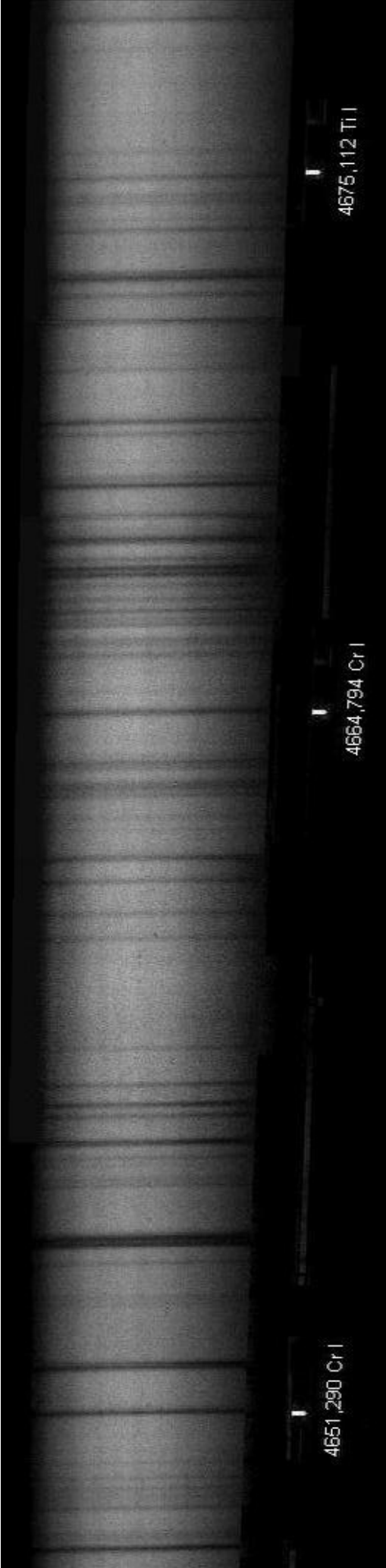


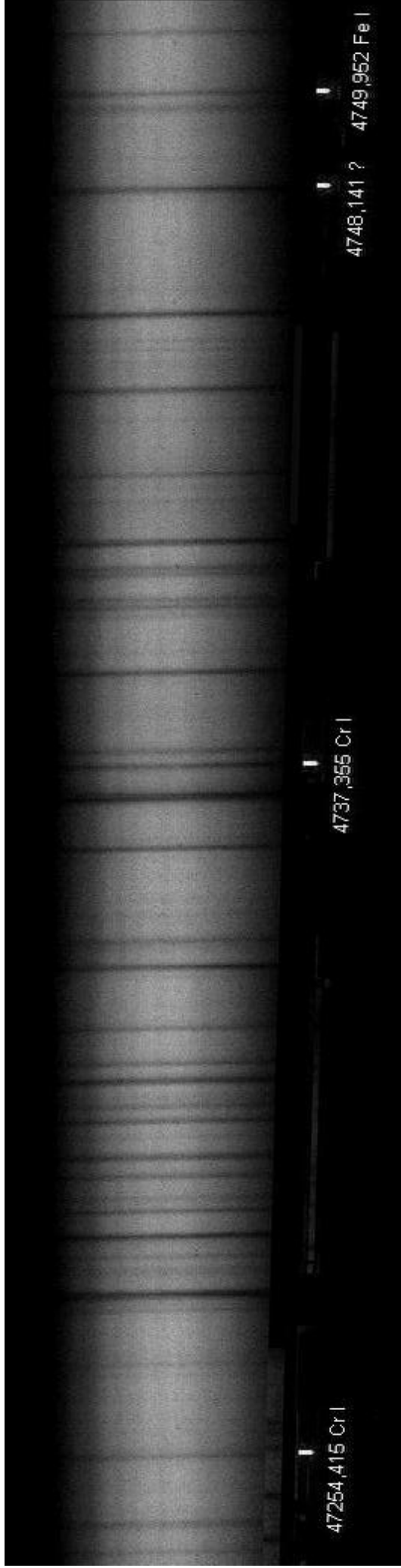
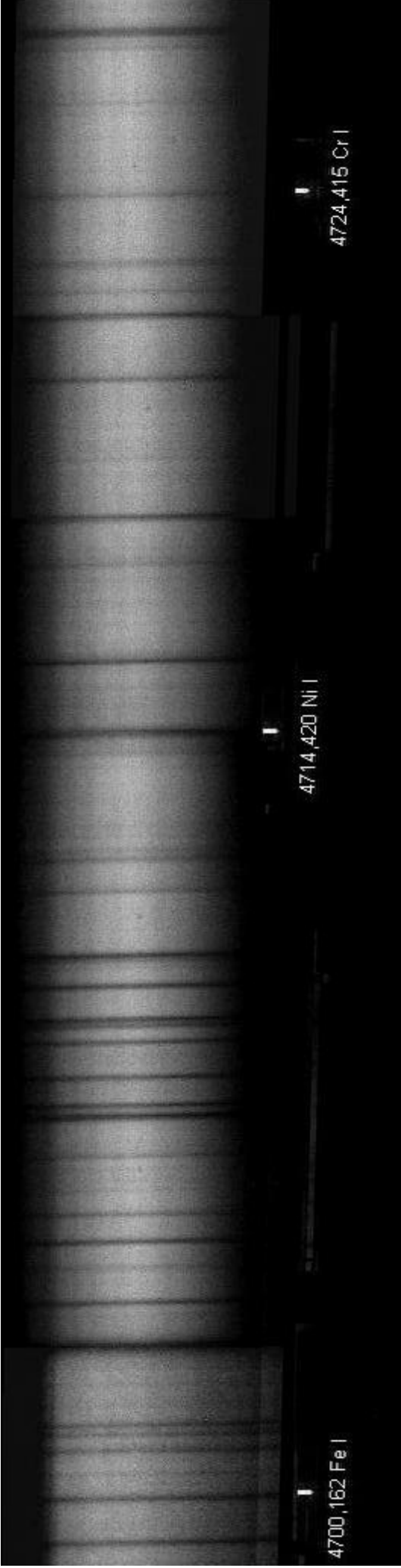


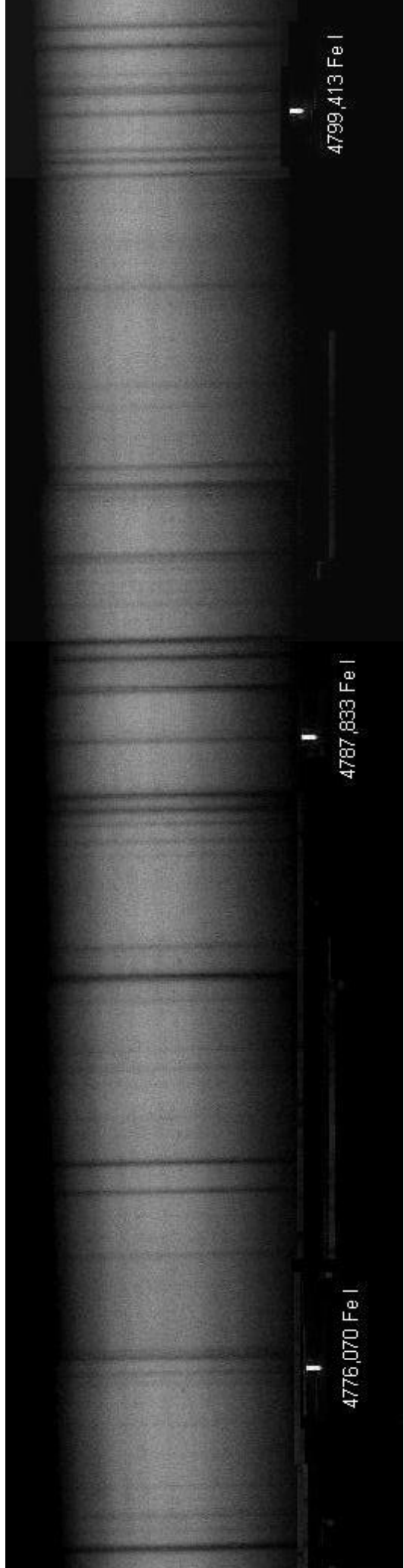
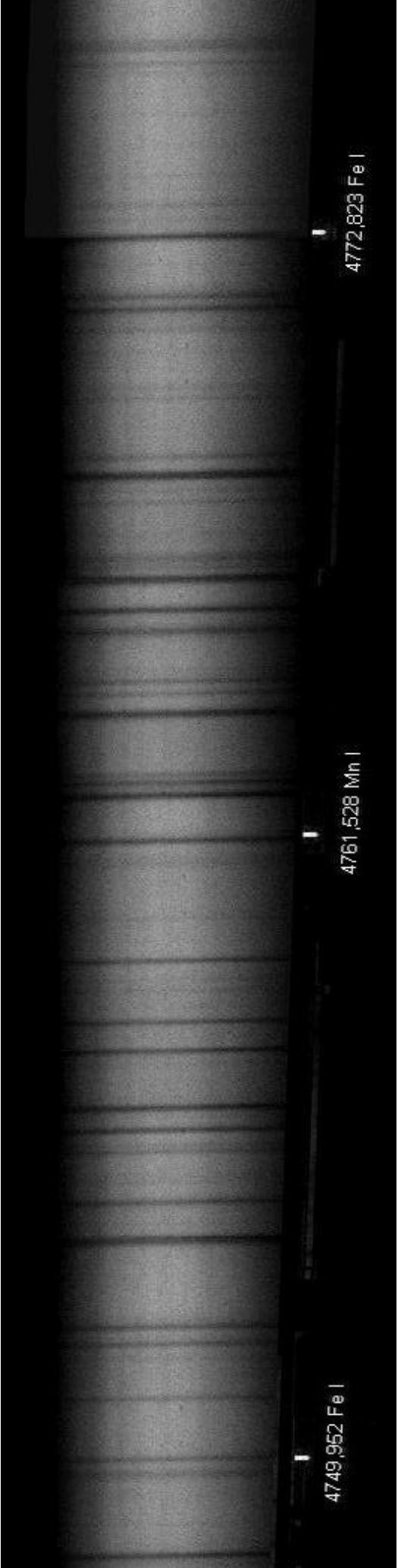


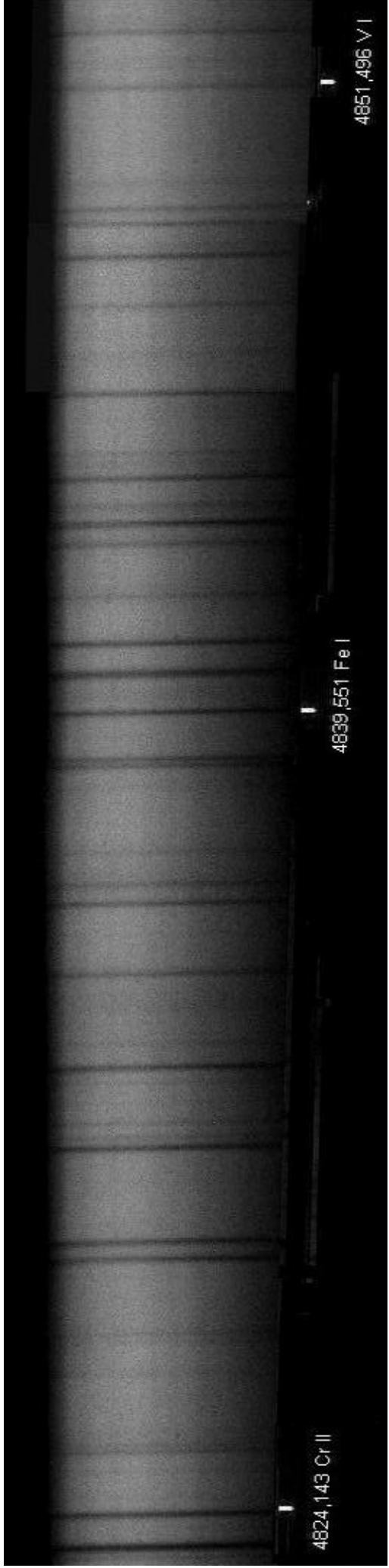


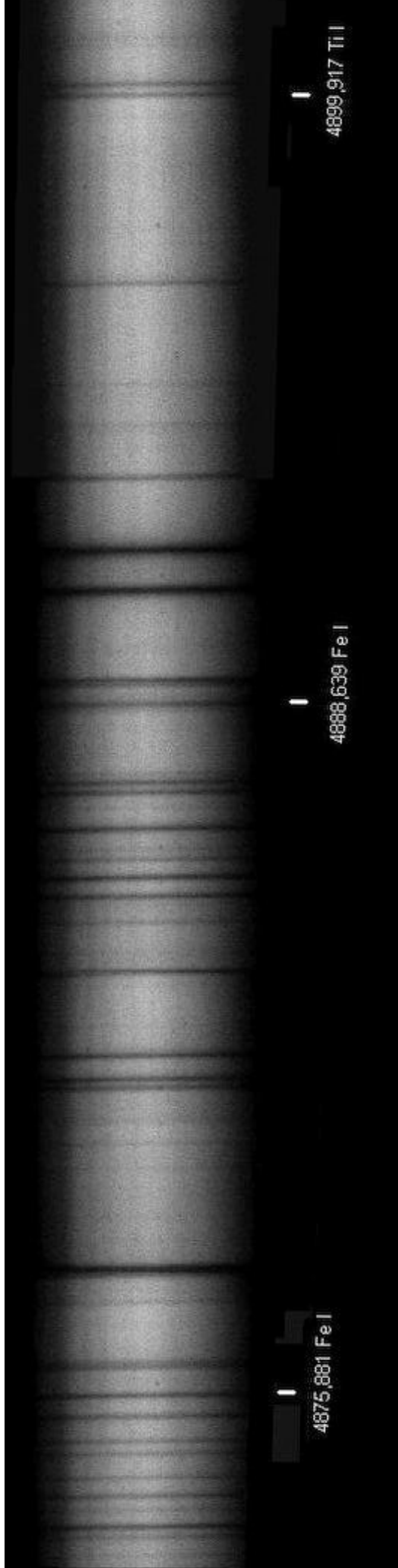
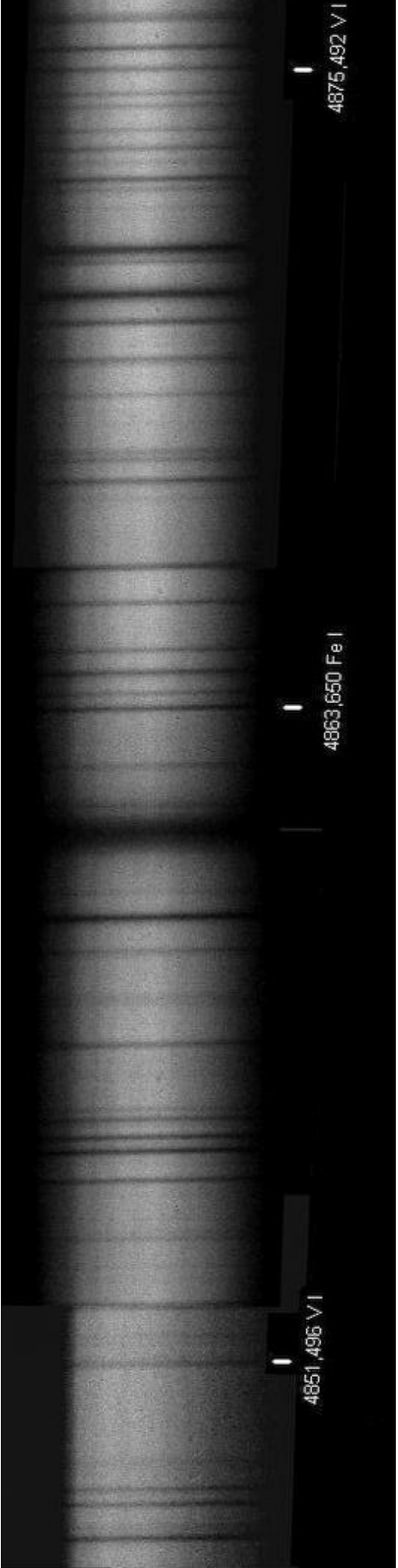


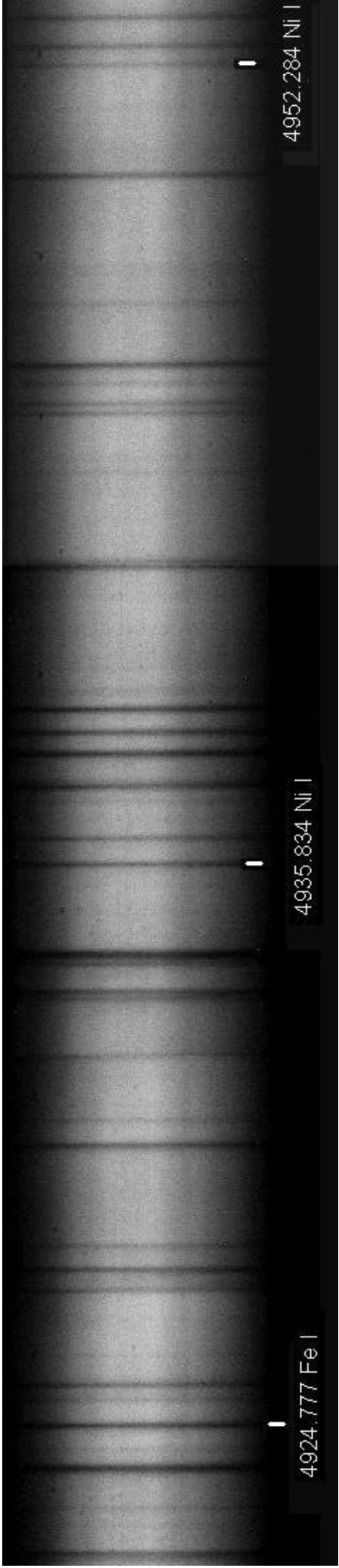
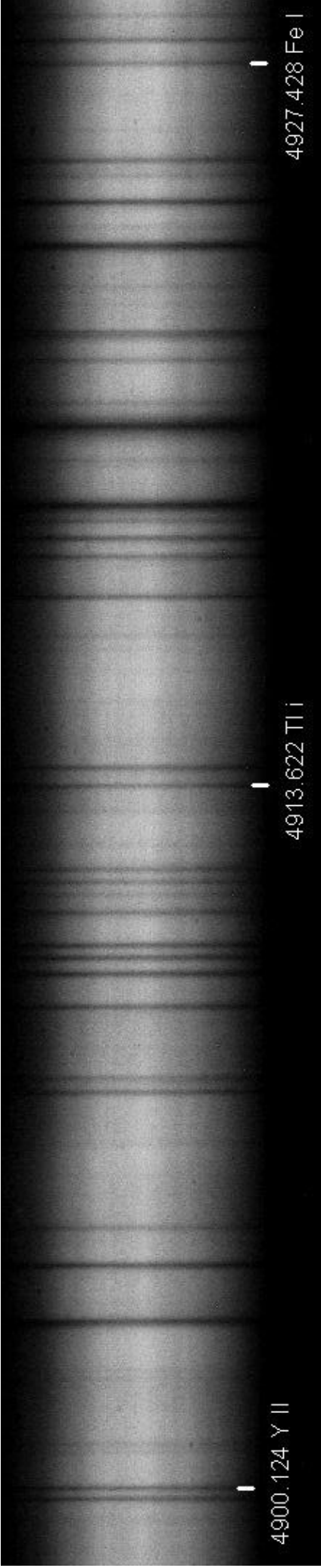


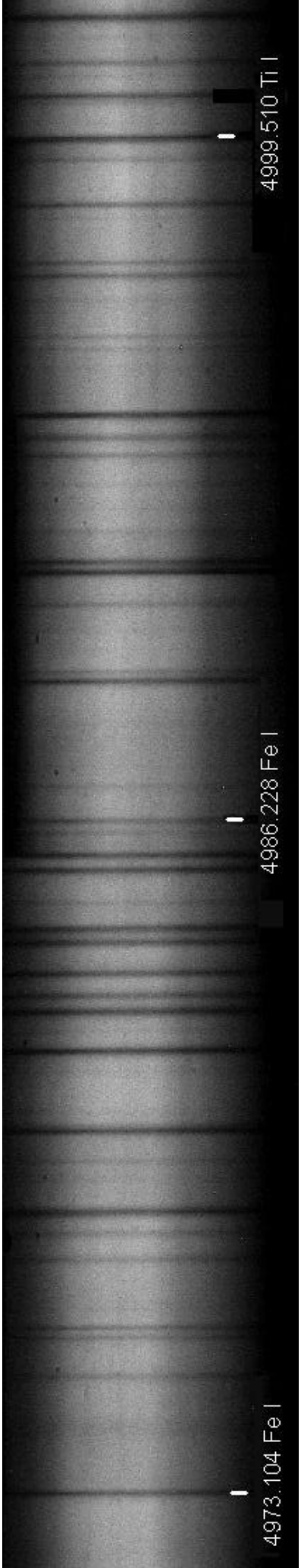
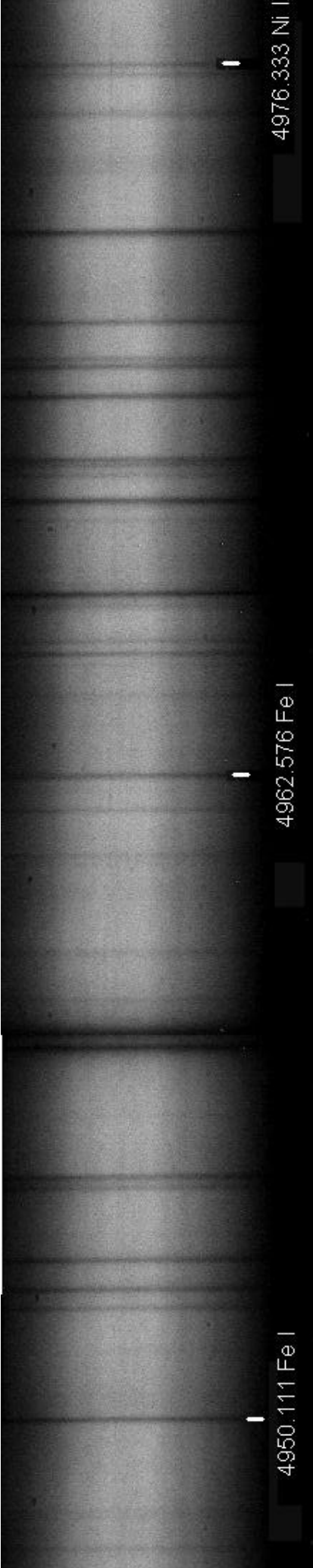


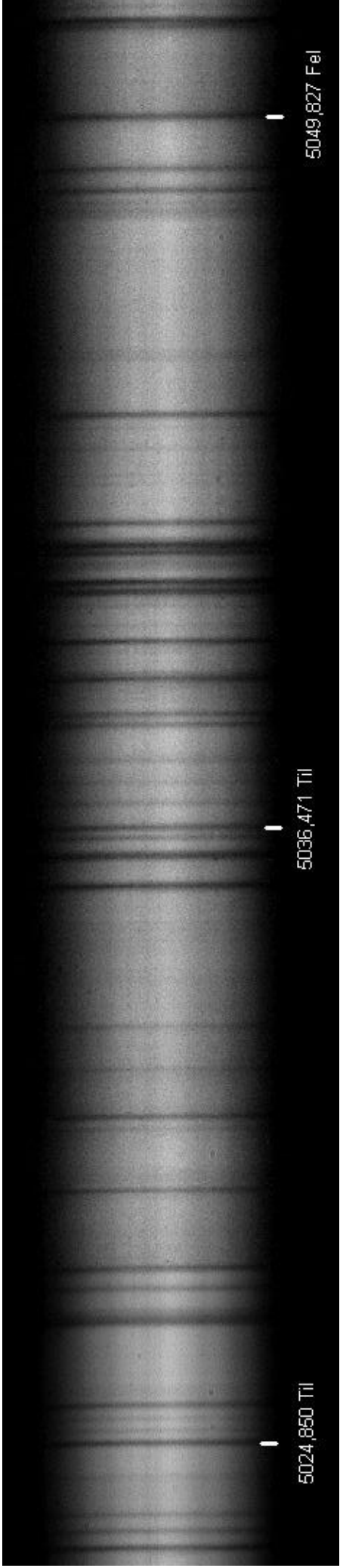
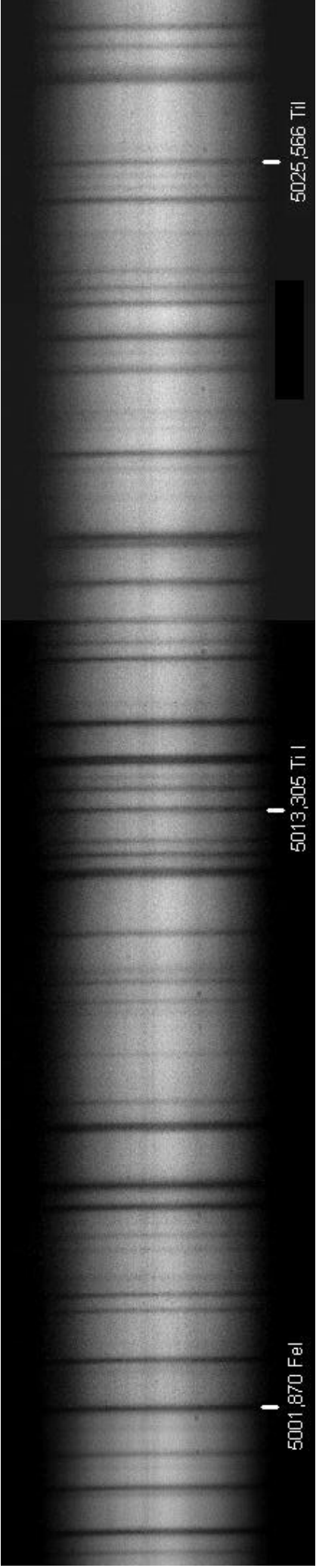


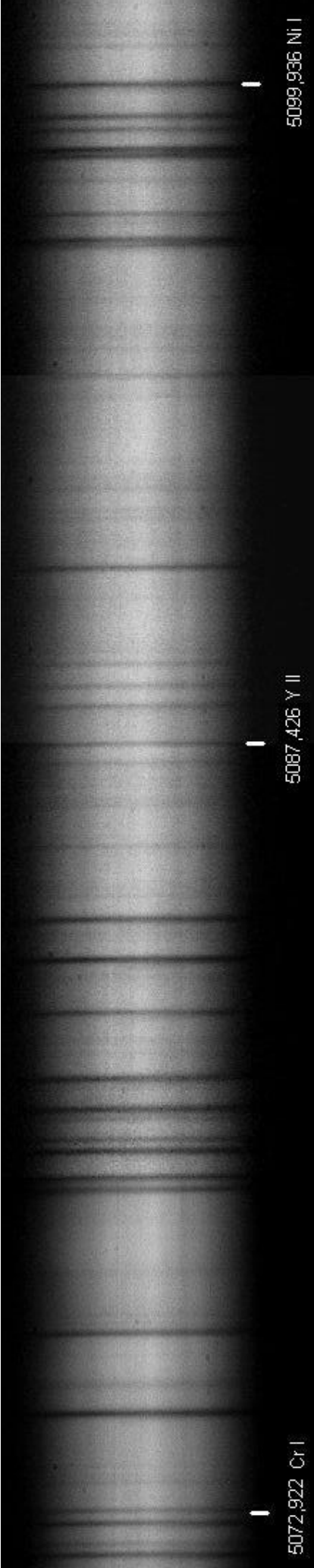
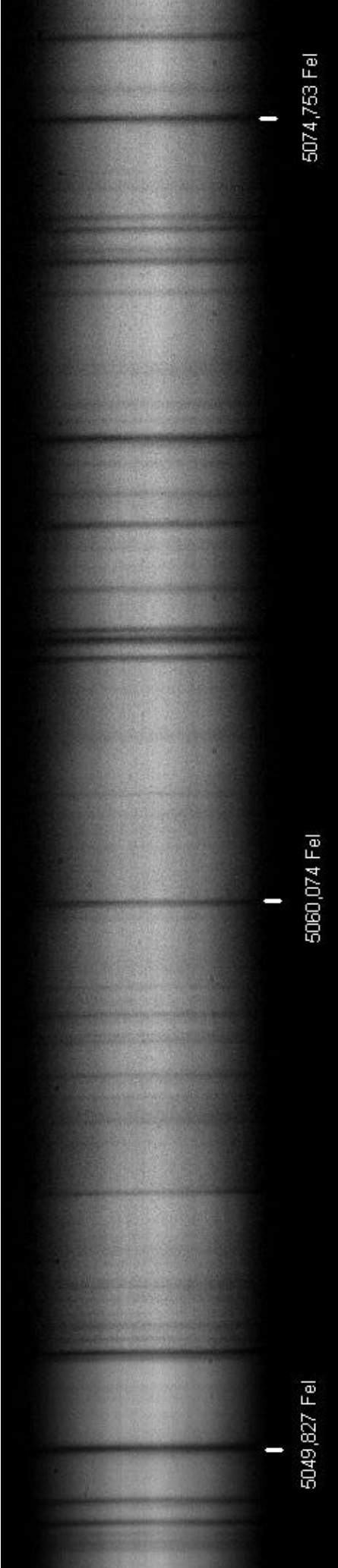


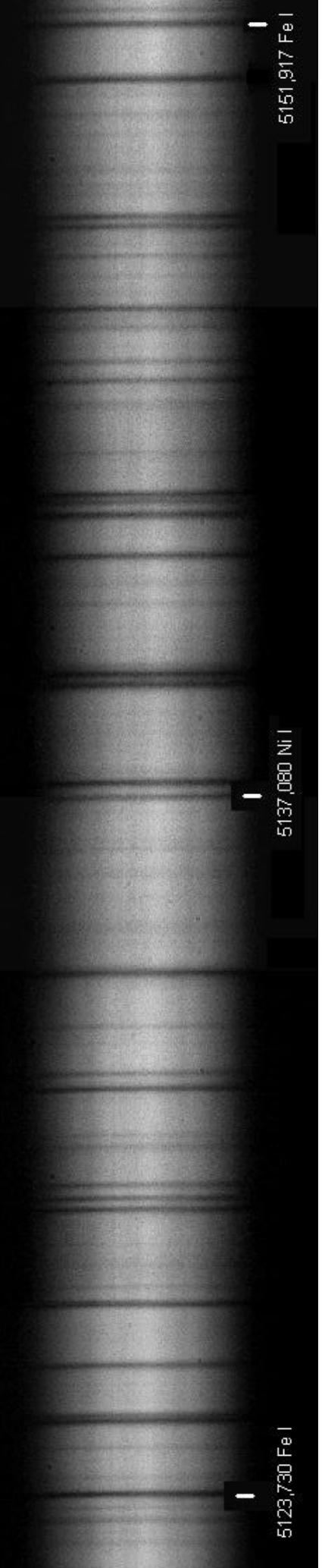
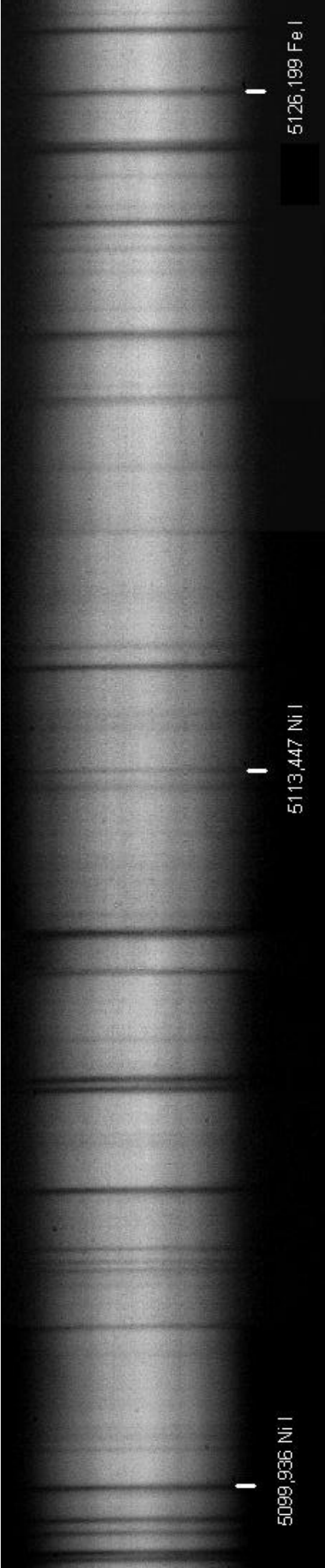


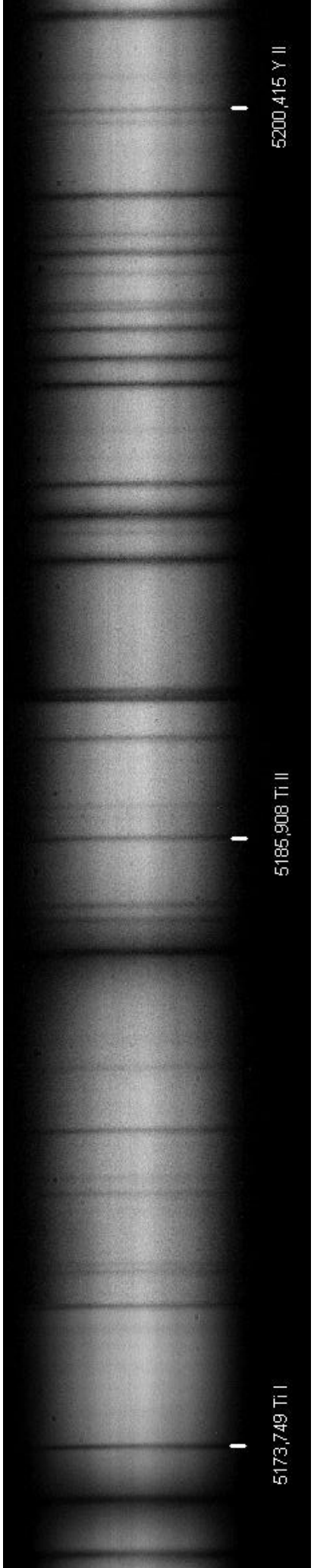
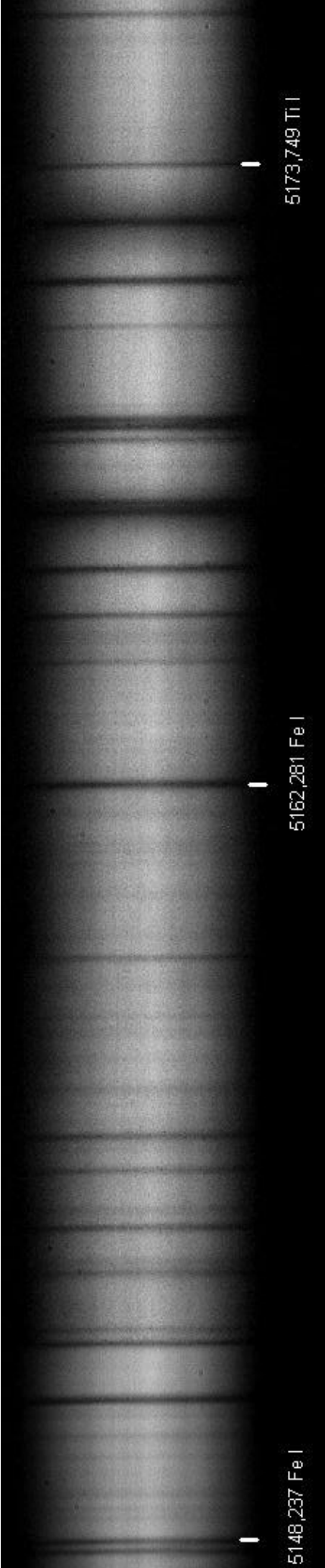


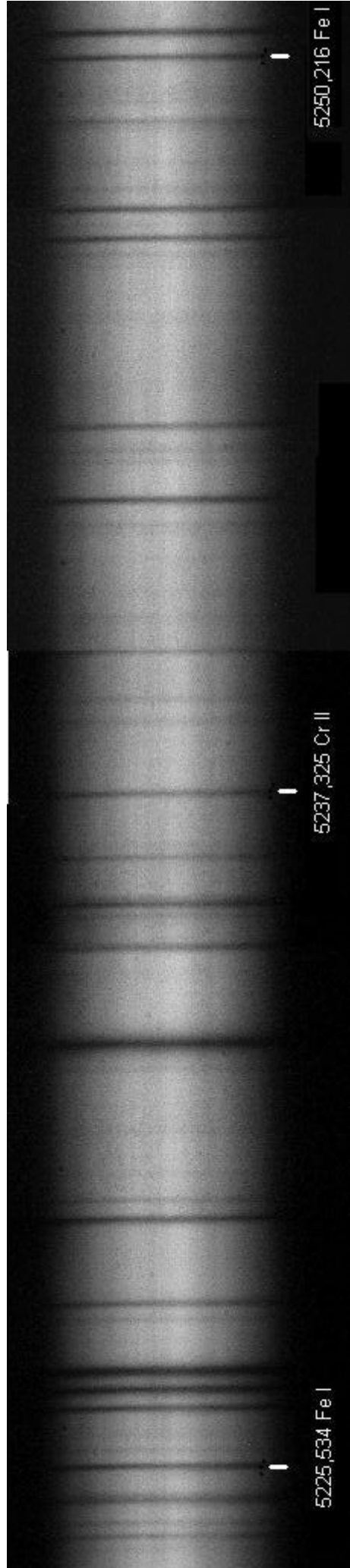
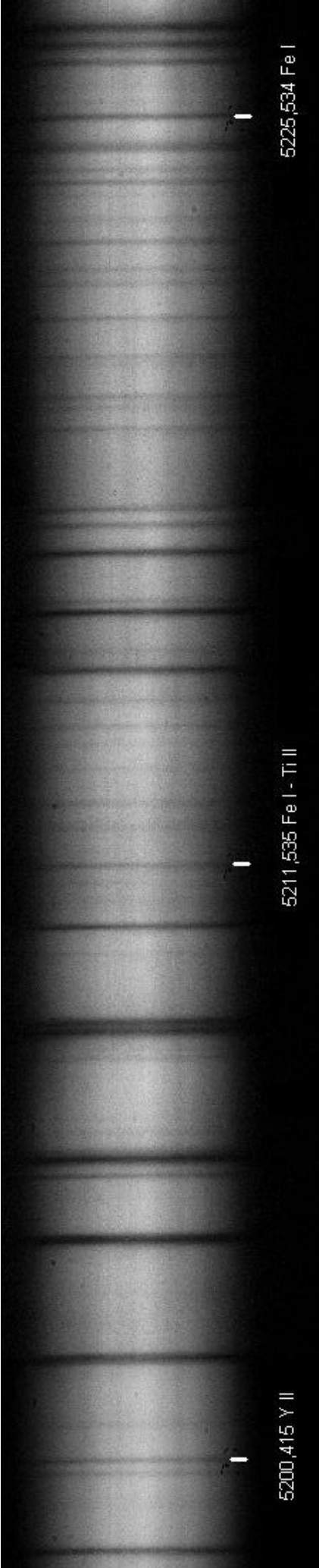


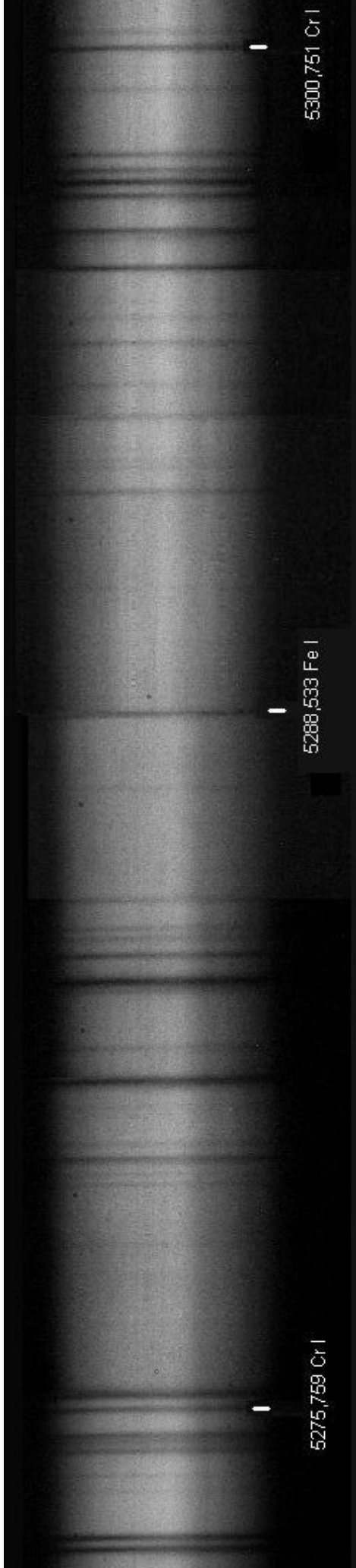
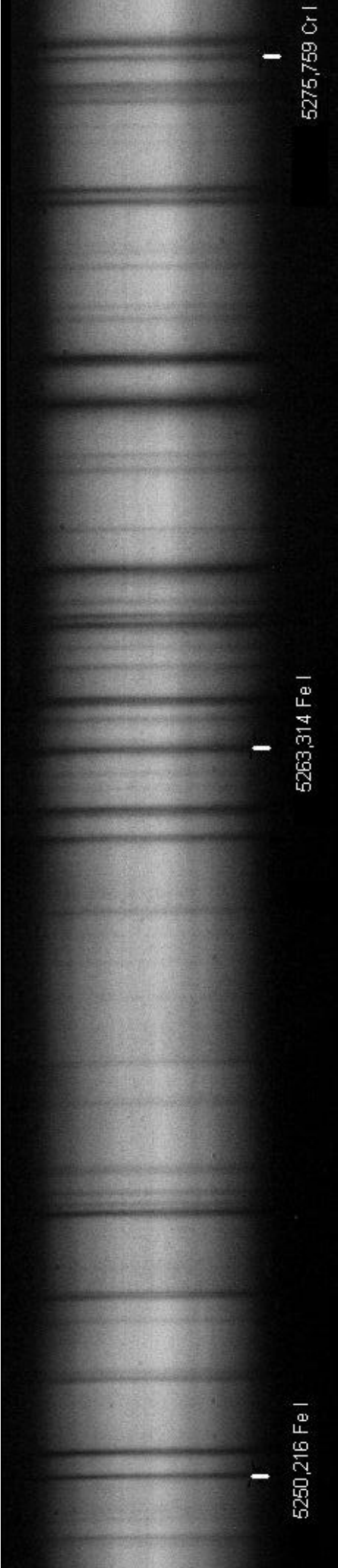


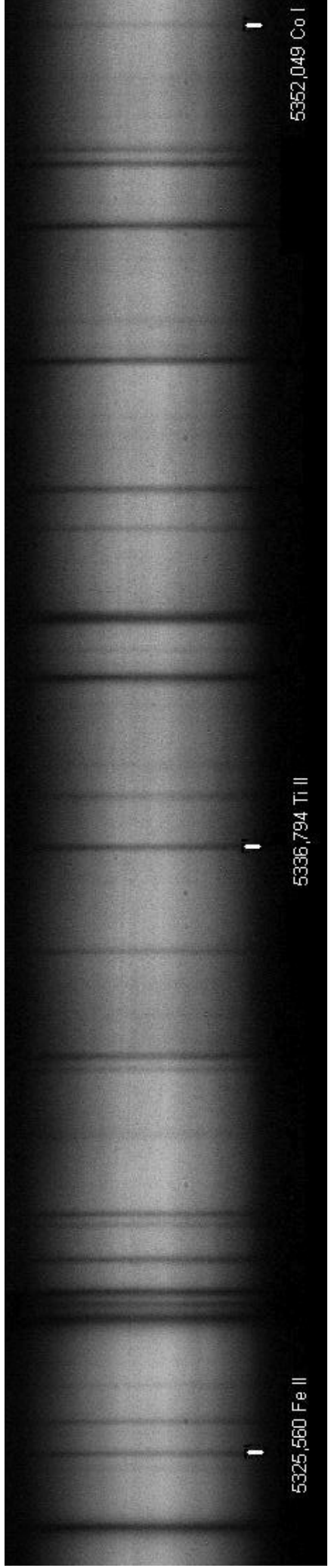
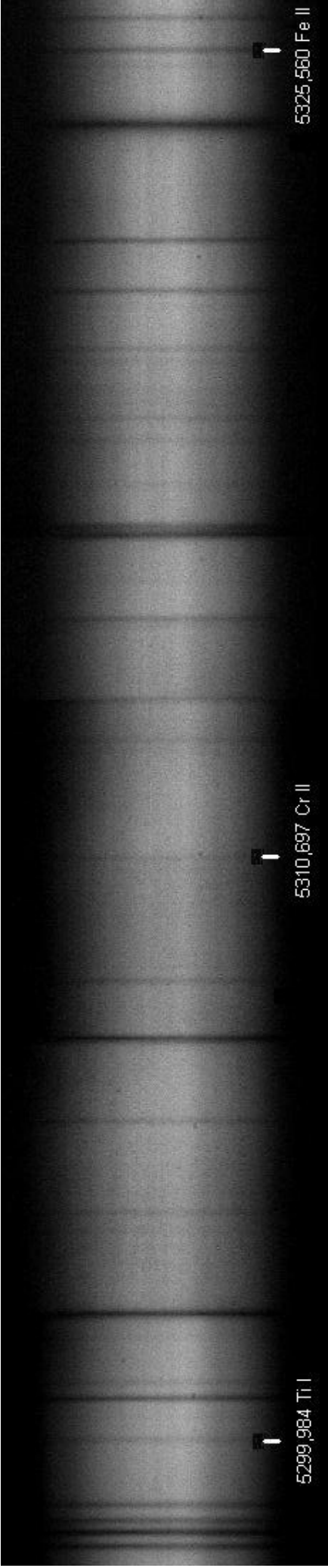


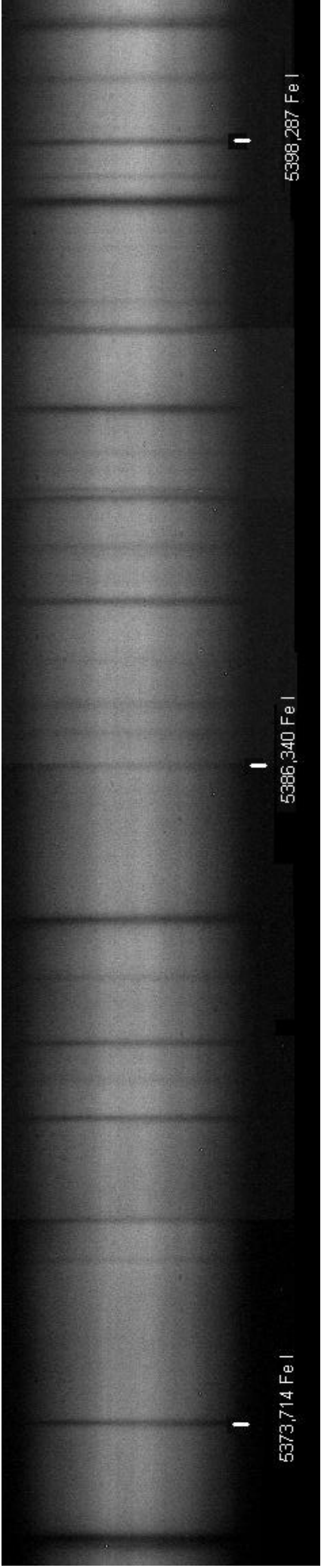
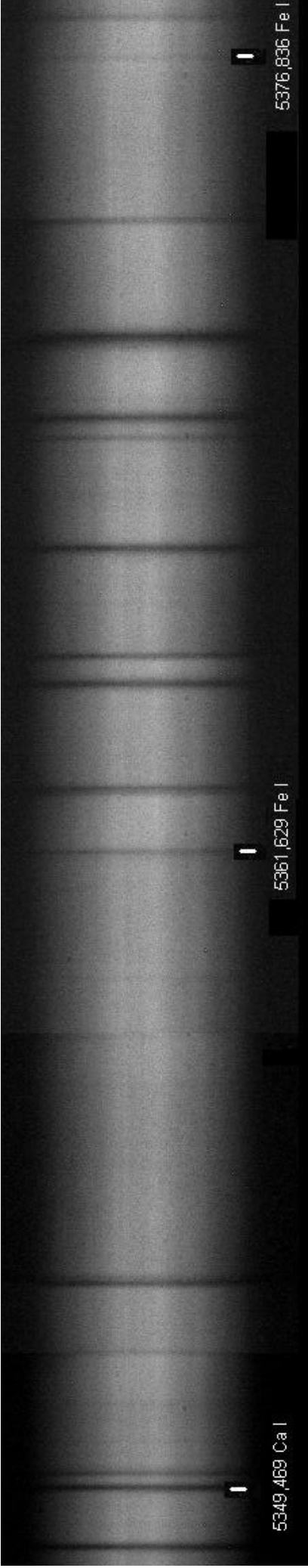


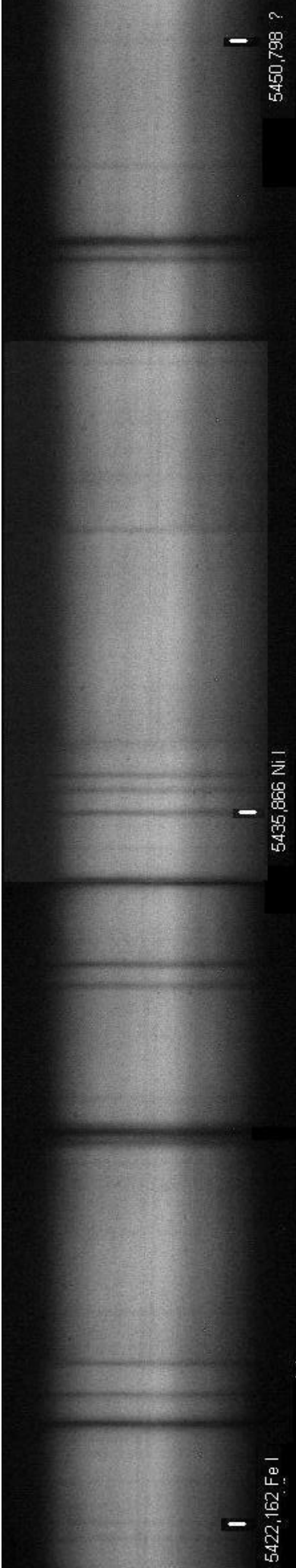
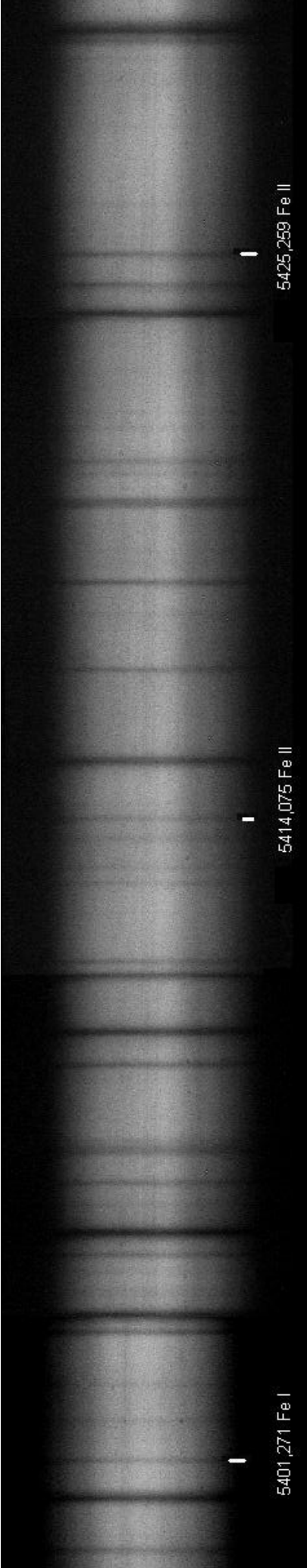


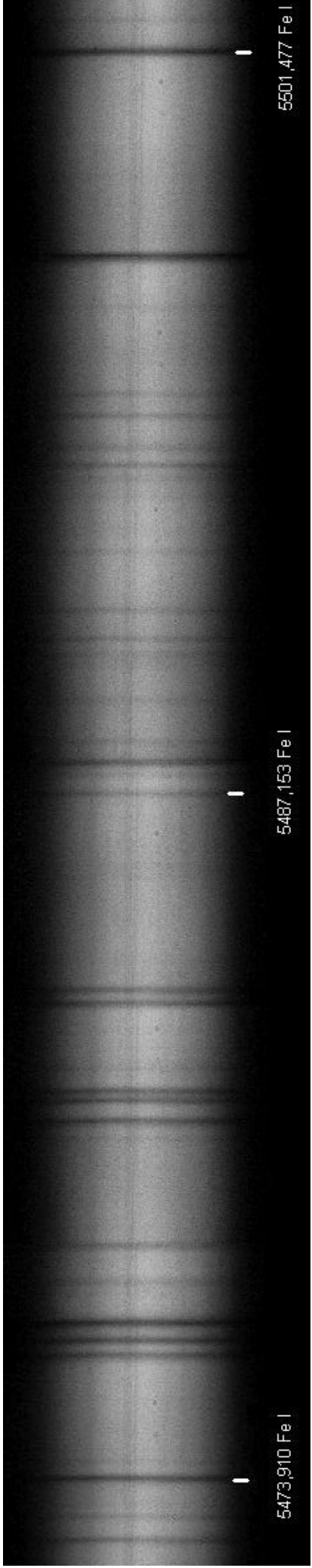
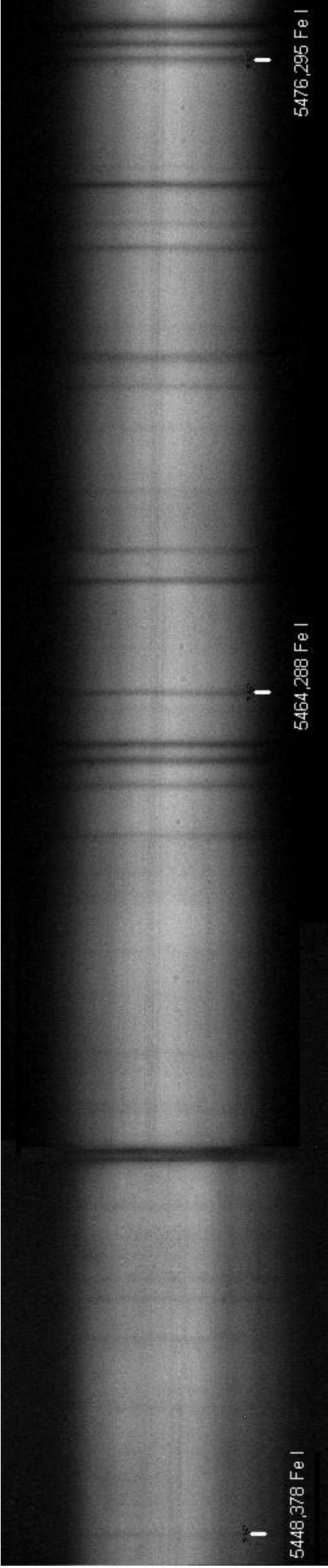


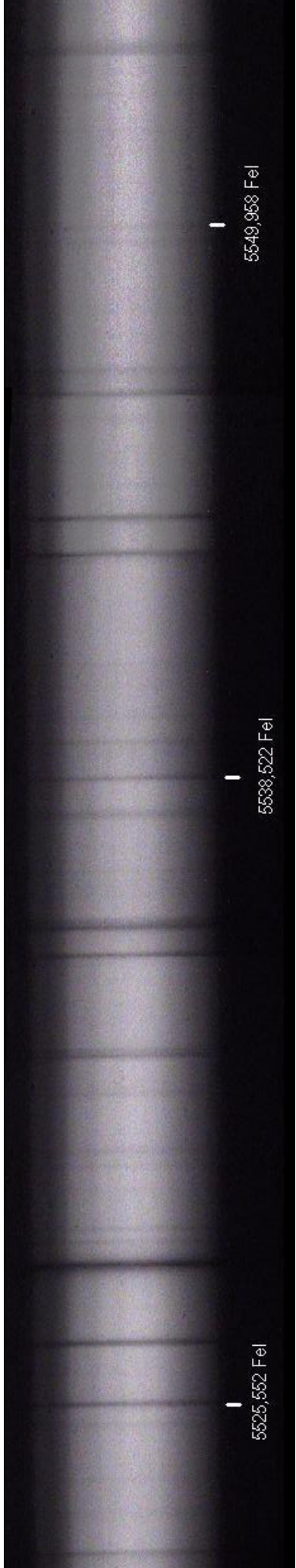
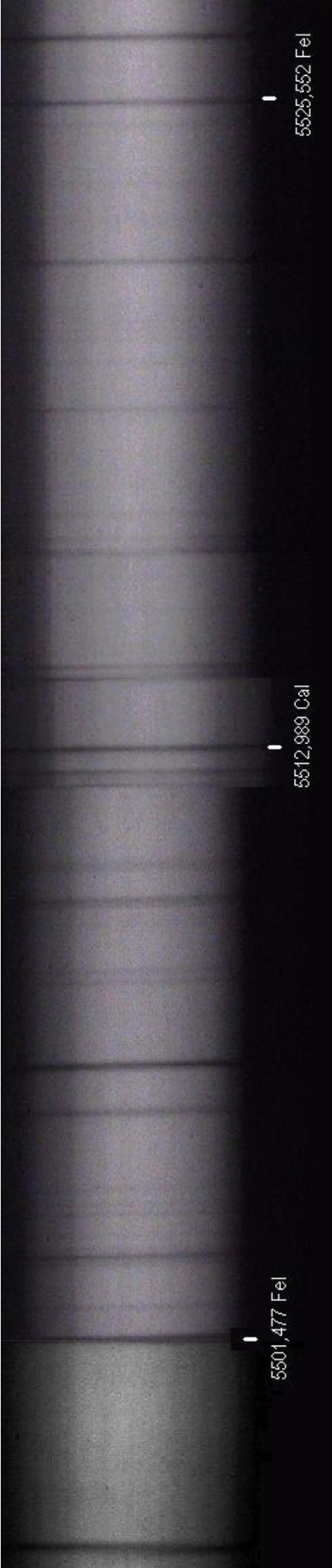


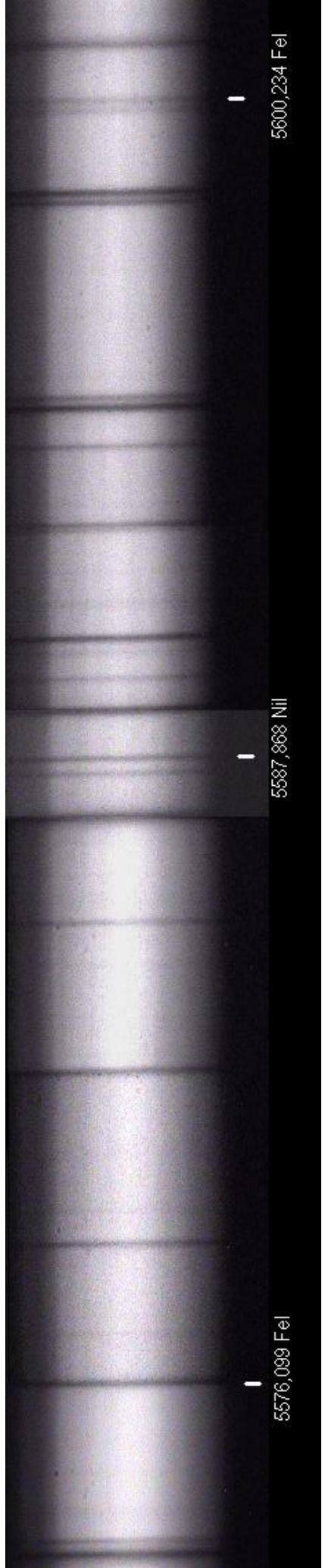
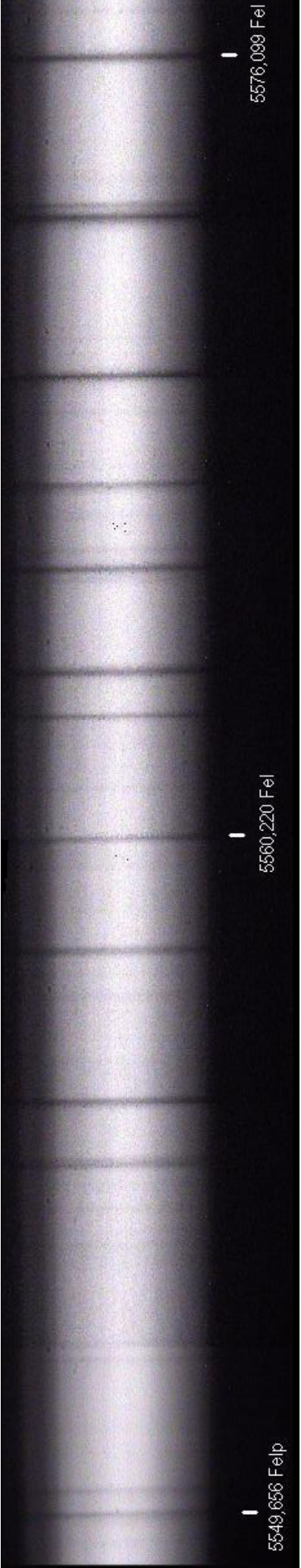


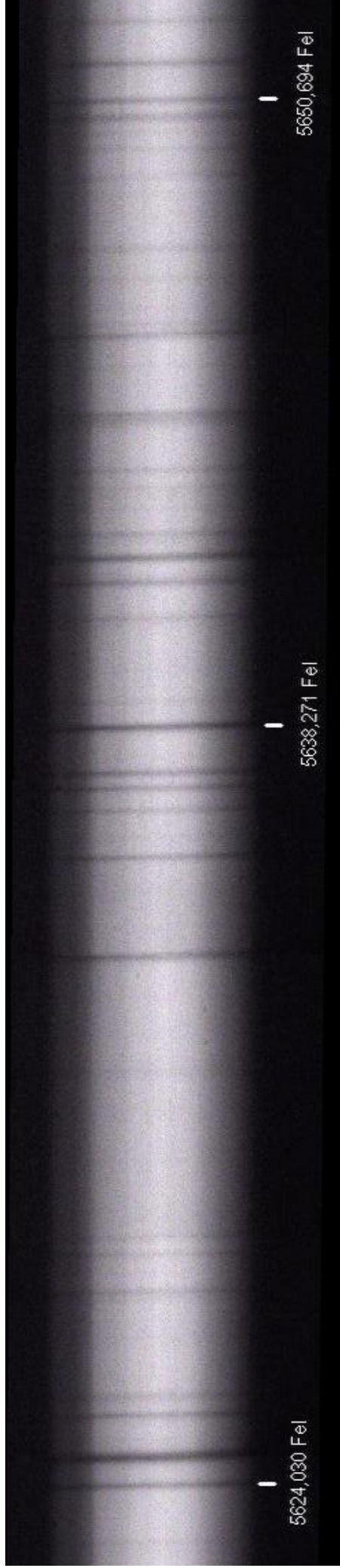
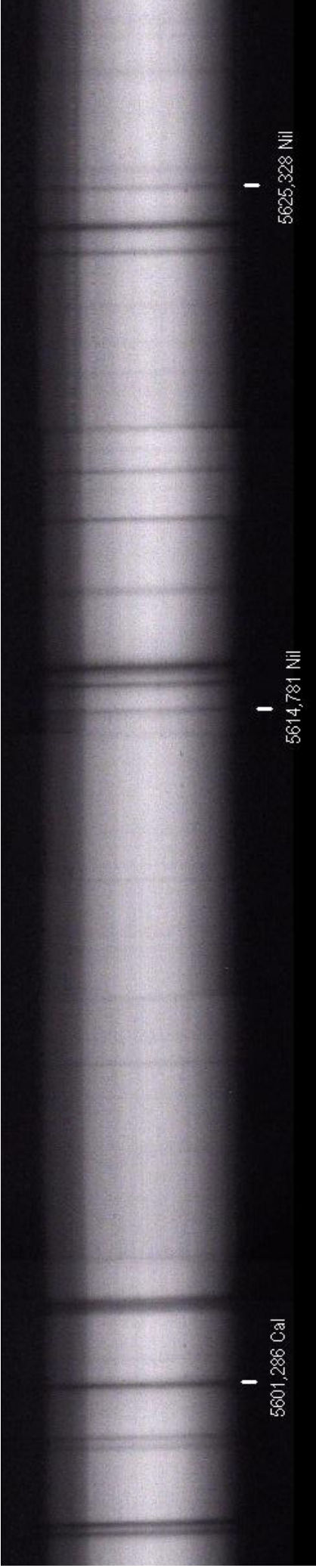


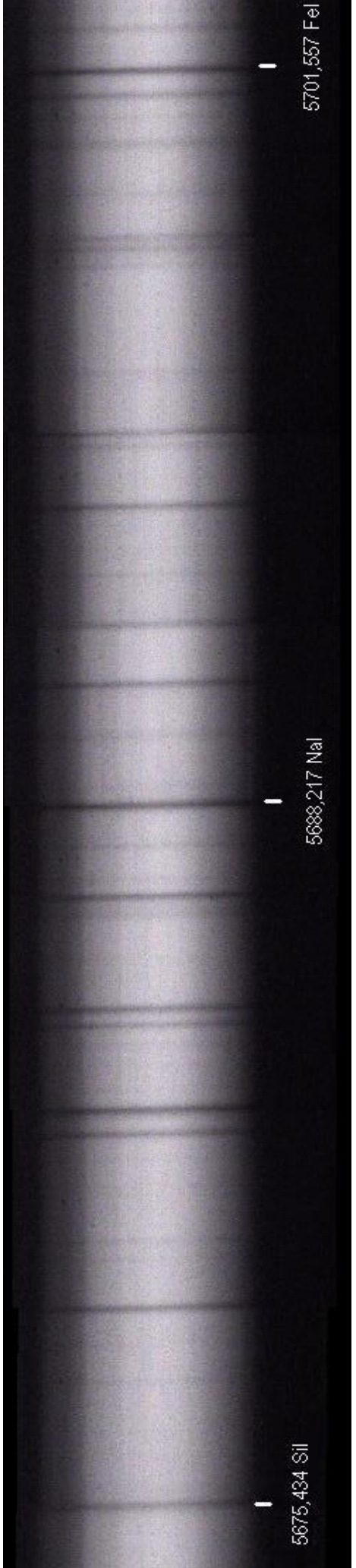
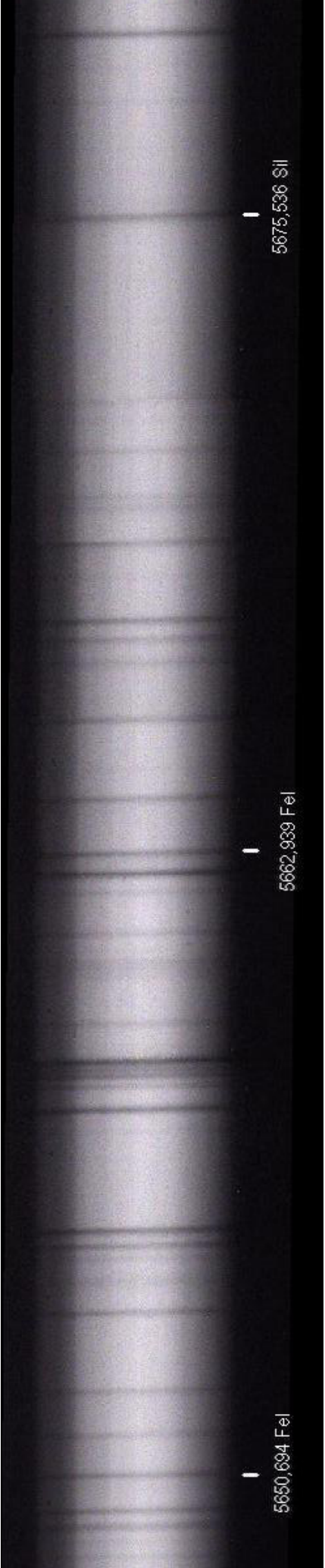


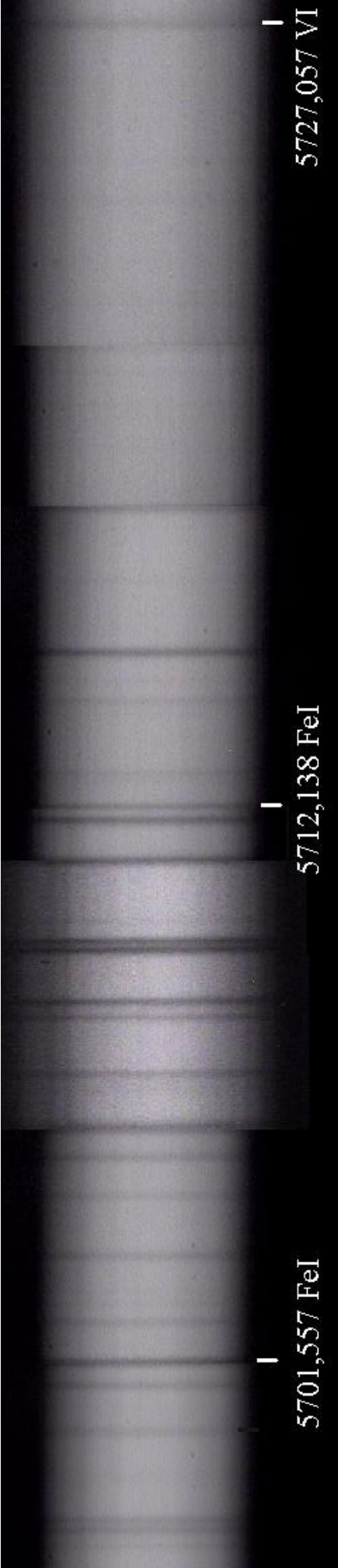


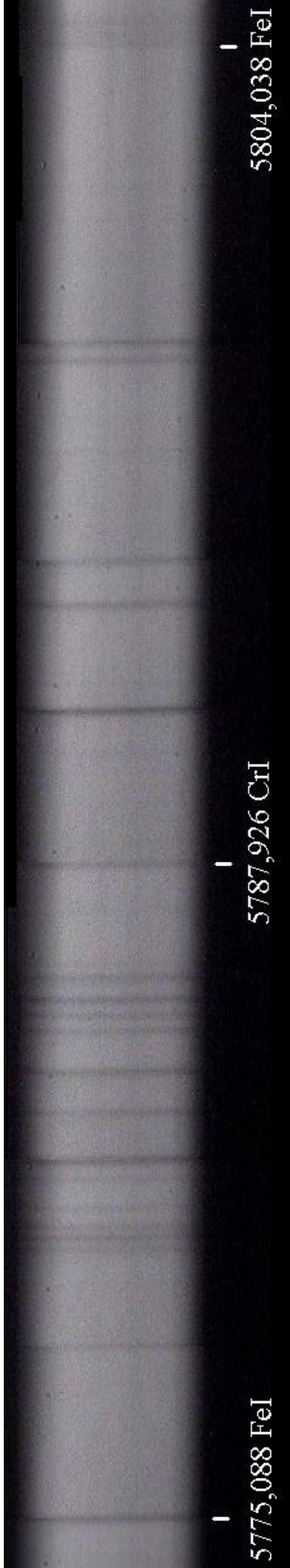
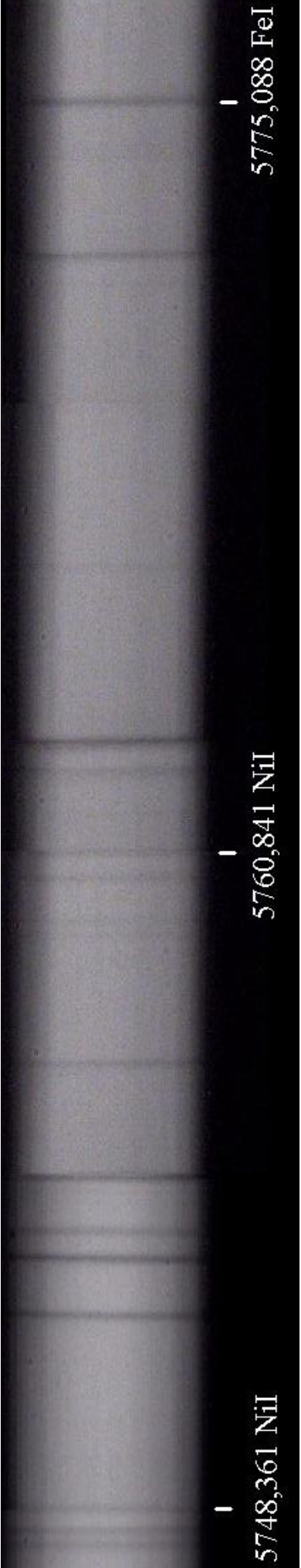


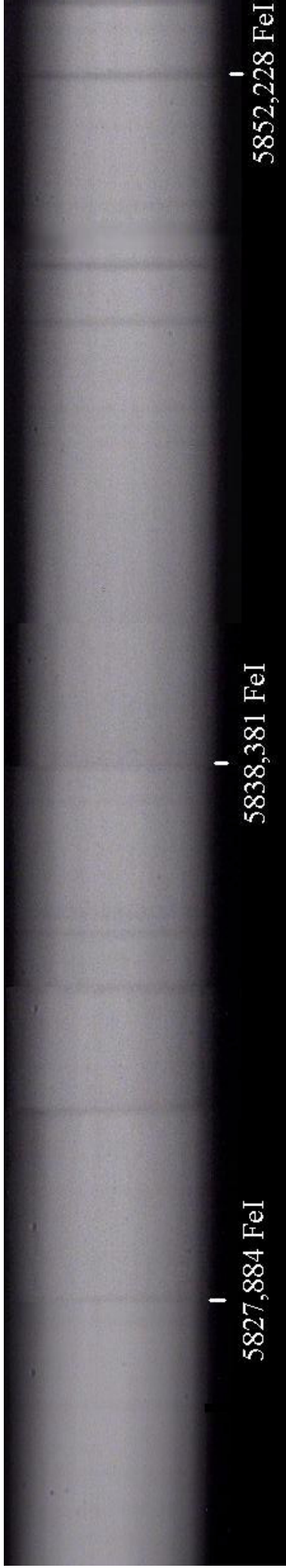
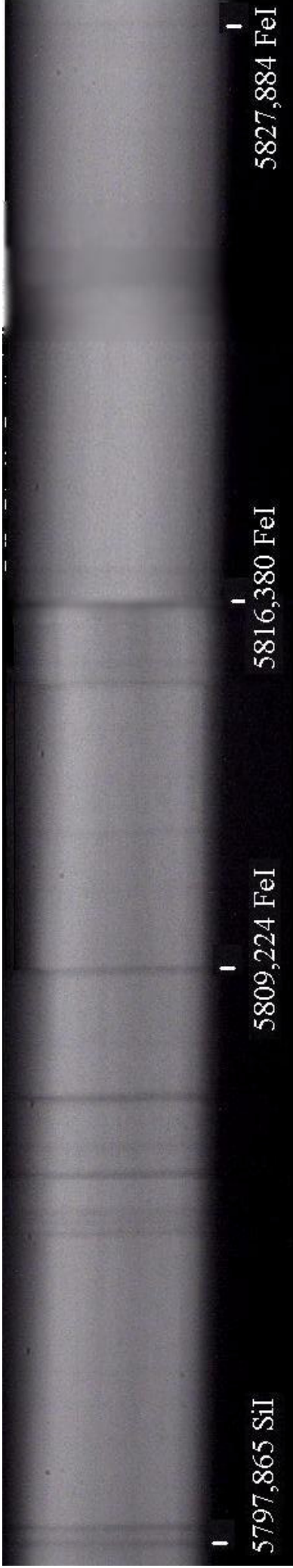












5847,006 NiII

5859,596 FeI

5873,218 FeI 5876,296 FeI

5877,797 FeI

5885,050 CrI

5899,304 TiII

5901,529 FeI

5916,257 FeI

5927,797 FeI

5927,797 FeI

5940,997 FeI

5952,726 FeI

